



کائی‌شناسی و دما- فشارسنگی شیسته‌های آبی مجموعه‌ی دگرگون سلطان‌آباد (شمال‌شرق سبزوار)

محسن نصرآبادی^{*}، فدریکو روزتی^۲، حسین معین‌وزیری^۳، سید محمدحسین رضوی^۳، محمد محجل^۴

۱- گروه زمین‌شناسی دانشگاه بین‌المللی امام خمینی قزوین

۲- گروه علوم زمین، دانشگاه علوم رم، ایتالیا

۳- گروه زمین‌شناسی دانشگاه خوارزمی (تربیت معلم تهران)

۴- گروه زمین‌شناسی دانشگاه تربیت مدرس تهران

(دریافت مقاله: ۸۹/۸/۱۱، نسخه نهایی: ۹۰/۲/۱۴)

چکیده: مجموعه‌ی دگرگونی سلطان‌آباد در شمال‌شرق افیولیت‌های سبزوار رخنمون دارد. در این مجموعه شیسته‌های آبی به صورت آمیزه‌ی زمین‌ساختی در یک زمینه‌ی سرپانتینیتی دارای بروونزدهای گسترده‌ای هستند. بررسی‌های صحرایی، سنگنگاری و محاسبات دما- فشارسنگی نشان داد که این سنگ‌ها دستخوش دو فاز دگرگونی شده‌اند. پارژن فاز اول دگرگونی شامل آمفیبول سدیک (گلوكوفان و ریه‌بکیت)، اپیدوت، فرثیت‌های جهت‌یافته و گارنت‌های نسل اول است که طی تدفین و فرورانش حاصل شده و شرایط فشار و دمای آن به ترتیب ۱۱ تا ۱۴ کیلوبار و ۳۵۰ تا ۴۲۰ درجه‌ی سانتیگراد بوده است. دومین فاز دگرگونی که حاصل تزریق توده‌های ترونجمیتی است سبب تبلور پورفیروبلاست‌های درشت آلبیت، گارنت و اپیدوت نسل دوم و نیز تبلور آمفیبول‌های کلسیک- سدیک در اطراف آمفیبول‌های سدیک شده است. شرایط دگرگونی در این مرحله فشار ۷ کیلوبار و دمای ۵۰۰ تا ۵۸۰ درجه سانتیگراد به دست آمده است. بنظر می‌رسد برخورد صفحه عربستان با خردۀ قاره‌ی ایران مرکزی و حرکت این خردۀ قاره به سمت شمال‌شرقی، منجر به فرورانش حوضه‌ی اقیانوسی سبزوار و ذوب‌بخشی و نیز تشکیل توده‌های ترونجمیتی در پالتوسون میانی شده باشد. همچنین در نتیجه تزریق این توده‌ها، شیسته‌های آبی موجود در منشورهای بهم‌افزوده، دستخوش دگرگونی برگشتی شده‌اند.

واژه‌های کلیدی: شیست آبی؛ مجموعه دگرگونی سلطان‌آباد؛ افیولیت‌های سبزوار؛ شمال‌شرق ایران.

و شرق ایران ([۳-۶]), شیسته‌های آبی ناحیه‌ی سبزوار ([۷-۱])

[۱۰]، شیسته‌های آبی حاجی‌آباد ([۱۱-۱۳]), شیسته‌های آبی

حدوده‌ی مکران ([۳-۱۱]), اکلوزیت‌های شهرکرد ([۱۴]), شیست-

های آبی مجموعه‌ی دگرگونی انارک در ایران مرکزی

([۱۵-۱۶]) و اکلوزیت‌های شاندرمن در شمال ایران ([۱۷]).

در این مقاله بر اساس شواهد صحرایی، سنگنگاری، ترکیب

کائی‌شناسی و محاسبات دما- فشار به تشریح فازهای دگرگونی

اعمال شده بر شیسته‌های آبی منطقه و تفسیر محیط زمین

ساختی تشکیل آن‌ها اقدام شده است.

مقدمه

یکی از آشکارترین شاخص‌های زون‌های فرورانش فانروزوئیک، شیسته‌های آبی در آن‌هاست و تشکیل آن‌ها مستلزم اعمال فشارهایی است که بیش از ضخامت پوسته قاره‌ای معمولی می‌باشد ([۲، ۱]). این سنگ‌ها معمولاً در اطراف اقیانوس آرام و نوارهای کوهزایی نوع آلپ قابل مشاهده‌اند.

بریونزدگی رخسارهای دگرگونی فشار بالا - دمای پائین و متوسط در ایران با سنین مختلف از چندین نقطه گزارش شده- اند که عبارتند از: اکلوزیت و شیسته‌های آبی منطقه‌ی سیستان

مجموعه‌ی دگرگونی سلطان‌آباد شامل سنگ‌های رخساره‌ی شیست سبز، شیست آبی و گارنت-هورنبلدیت با شرایط فشار و دمای رخساره‌ی اکلولوژیت (?) است و پروتولیت آن‌ها بیشتر بازیک، گاهی پلیتی و کربناته‌اند [۹،۱۰]. شیست سبز بیشتر در جنوب‌شرقی سلطان‌آباد (شکل ۱ ب) و گارنت-هورنبلدیت و گنیس در غرب و جنوب‌غربی سلطان‌آباد گسترش دارند (شکل ۱ پ). شیست آبی نیز به صورت پراکنده در سرتاسر منطقه بروند دارد. در انتهای نوار دگرگونی جنوب‌غربی سلطان‌آباد (جنوب خوشاب) آهک‌های نومولیت‌دار به صورت دگرگشیب روی شیستهای آبی قرار گرفته‌اند (شکل ۲ ب) و حاوی خرده‌های آواری از ترونجمیت‌ها و سنگ‌های دگرگونی منطقه‌اند [۹،۱۰]. قرارگیری این آهک‌ها روی مجموعه‌ی دگرگونی از نکات اساسی رخدادهای زمین‌شناسی منطقه بوده و مovid پایان فرایند دگرگونی پیش از اوسن میانی است.

از نکات شایان یادآوری دیگر، تریق توده‌های ترونجمیتی آدایکیتی به درون مجموعه دگرگونی سلطان‌آباد است (شکل ۲ ب). در انتهای غربی نوار دگرگونی و در مجاورت با توده‌های ترونجمیتی بخش غربی این مجموعه دگرگونی، بلوک‌های گارنت-هورنبلدیتی رخمنون یافته‌اند. کانی‌شناسی این بلوک‌ها شامل آمفیبول غنی از آلومینیوم (هاستینگسیت و چرم‌مکیت)، گارنت غنی از آلماندن، اپیدوت، روتیل ± میکائیسفید ± کوارتز ± آلبیت است. بعضی از پژوهشگران از جمله [۲۳،۲۴] این‌گونه لیتولوژی‌های غنی از آمفیبول (یا پیروکسن) و گارنت و فقیر یا عاری از پلازیوکلاز را رستیت‌های حاصل از ذوب‌بخشی متابازیت در نظر گرفته و خاطرنشان کرده‌اند که در مواردی این گونه مجموعه‌های غنی از آمفیبول دارای خاستگاه ثانوی هستند زیرا در اثر عدم جدایش کامل فاز مذاب از رستیت غنی از پیروکسن، واکنش بین مذاب و رستیت صورت می‌گیرد و پیروکسن‌ها با آمفیبول ثانوی جایگزین می‌شوند.

شرایط فشار و دمای مرحله‌ی اوج دگرگونی گارنت-هورنبلدیت‌ها (دمای بیشتر از ۶۵۰ درجه‌ی سانتیگراد و فشار بالاتر از ۱۵ کیلوبار) فراتر از منحنی انجماد بازالت آبدار بوده و بیانگر فرایند ذوب بخشی در این مرحله است به‌طوری که می‌توان لوكوسوم‌هایی متشکل از کوارتز و آلبیت را که موفق به جدایش از فاز رستیت نشده‌اند شناسایی کرد. ترکیب شیمیایی لوكوسوم‌ها بسیار مشابه توده‌های ترونجمیتی هم‌محوار بوده و ویژگی‌های ژئوشیمیایی سنگ کل گارنت-هورنبلدیت‌ها نیز مovid خاستگاه تفاله‌ای آن‌ها است. بعلاوه سن تشکیل توده‌های

روش بررسی

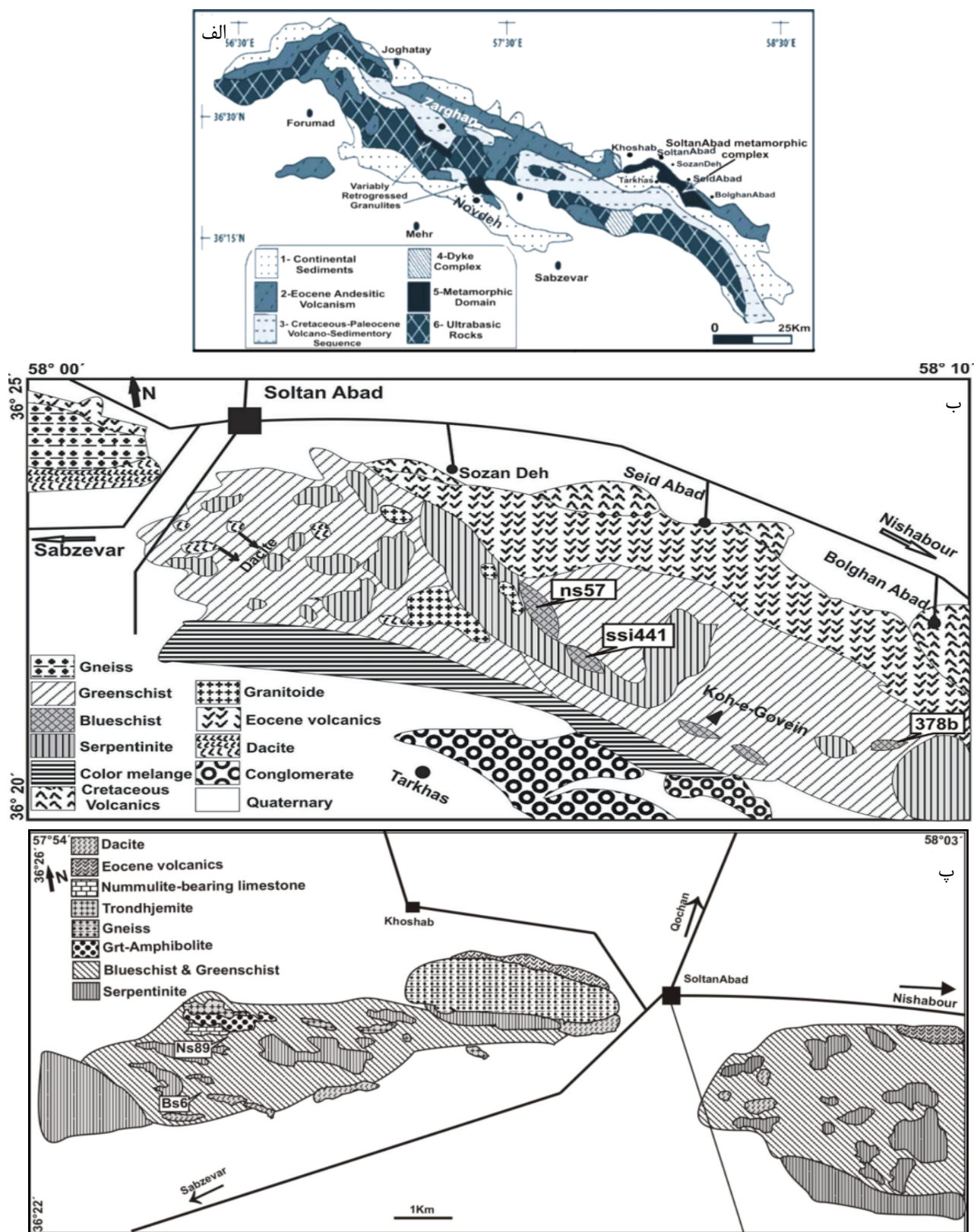
روش بررسی شامل نمونه‌برداری سیستماتیک و هدفمند از رخمنون‌های شیستهای آبی، تهیه‌ی مقاطع نازک از نمونه‌ها، بررسی‌های دقیق سنگنگاری و تجزیه‌ی ریزپردازش نقطه‌ای روی ۶۰۰ نقطه از کانی‌های گوناگون شیستهای آبی در دانشگاه اشتوتگارت (آلمن) و رم (ایتالیا) است. دستگاه ریزپردازندۀ دانشگاه اشتوتگارت از نوع Cameca SX100 و دانشگاه Cameca SX50 است. در طول آنالیز لاسپینزای رم از نوع Cameca SX50 است. در دو دستگاه ۱۵ KV شدت جریان ۱۵ nA و زمان شمارش سی ثانیه بوده است.

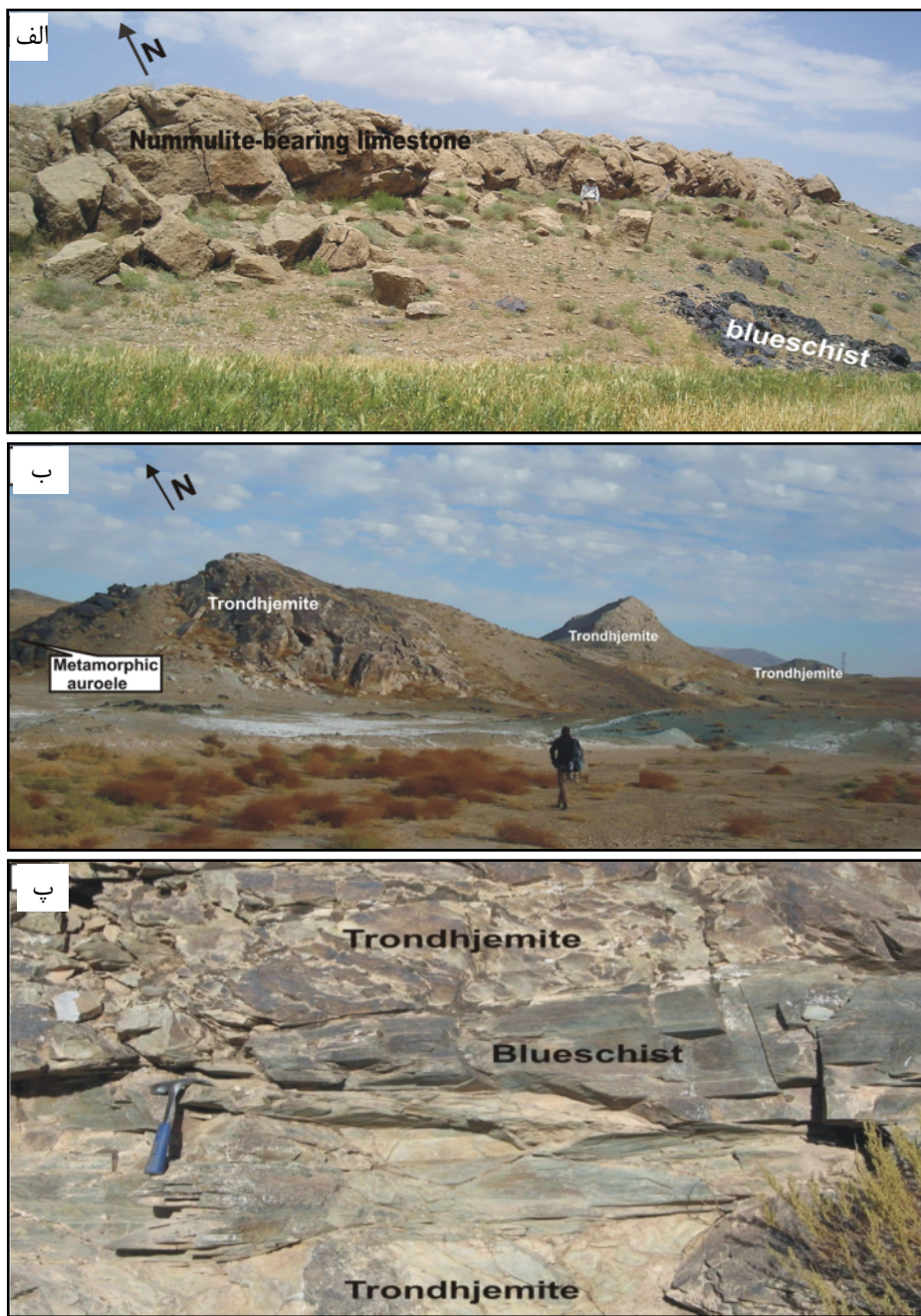
در محاسبه‌ی فرمول ساختاری کانی‌ها از نرم‌افزار کالکمین (Calc Min) و به منظور برآورد شرایط دما و فشار مراحل مختلف دگرگونی از نرم‌افزار ترمومکالک و شبکه‌های پتروزنیک استفاده شده است.

زمین‌شناسی منطقه

منطقه مورد بررسی در شمال‌شرق ایران، در استان خراسان رضوی واقع شده است. مجموعه‌ی دگرگونی سلطان‌آباد با توپوگرافی مرتفع در شمال‌شرق سبزوار و باسته به کمربند افیولیتی شمال سبزوار رخمنون دارند (شکل ۱ الف). گسل‌های میامی و درونه (گسل بزرگ کویر) به ترتیب از شمال و جنوب این منطقه می‌گذرند. بنابر بررسی‌های [۲۰] این منطقه به زون ایران مرکزی وابسته است، ولی [۲۱] در نقشه‌ی زمین‌ساختی خاورمیانه منطقه‌ی سبزوار را از ایران مرکزی جدا کرده است. در تقسیم‌بندی [۲۲] منطقه‌ی مورد بررسی که به زون سبزوار معروف است، در گستره‌ی ایران مرکزی قرار گرفته، و از شمال با کوههای البرز و بینالود و از جنوب با بلوک لوت محدود می‌شود.

مجموعه‌ی دگرگونی سلطان‌آباد در جنوب با یک نوار باریک از آمیزه‌ی افیولیتی و سنگ‌های آتشفسانی - رسوبی کرتاسه بالایی روبروست و در شمال با کنگلومرا و سنگ‌های آتشفسانی اوسن هم‌جوار است. غرب و شرق این مجموعه به وسیله‌ی توده‌های بزرگ گسل‌های شیب لغز معکوس با زاویه‌ی ۵۰ تا ۸۰ درجه رو به جنوب دیده می‌شود و در مرز شمالی با کنگلومرا قاعده‌های و سنگ‌های آتشفسانی اوسن با شیب ۳۰ درجه رو به شمال هم مرز است. روند عمومی سنگ‌های دگرگونی و آتشفسانی واقع در شمال آن، شمال‌غربی - جنوب‌شرقی و شیب آن‌ها به سمت شمال‌شرقی است [۷-۱۰].





شکل ۲ الف- رسوب‌گذاری آهک‌های نومولیت‌دار به صورت دگرشیب روی شیسته‌ای آبی جنوب‌غربی خوشاب. ب- تزریق سیل مانند توده‌های ترونجمیتی به درون مجموعه‌ی دگرگونی که با تشکیل هاله‌ی دگرگونی محدود نیز همراه است. پ- زنولیت شیست آبی که به وسیله‌ی توده‌ی ترونجمیتی در بر گرفته شده است.

ترکیب ژئوژیمیایی لوکوسوم و توده‌های ترونجمیتی، نبودن پلاژیوکلاز و کلینوپیروکسن و وجود ساختارهای رگه‌ای (مانند رگه‌های گارنتیت) در بلوك‌های گارنت- هورنبلنديت منطقه بیانگر آن است که مرحله‌ی اوج دگرگونی در شرایط اشباع از آب صورت گرفته و این شرایط منجر به فرایند ذوب‌بخشی شده است. معمولاً در شرایط فشار و دمای ذوب‌بخشی متبازیت‌ها،

ترونجمیتی منطقه (سال‌سنگی اورانیم- سرب زیرکن) همزمان با مرحله‌ی اوج دگرگونی (سال‌سنگی اورانیم- سرب زیرکن محصور در لوکوسوم گارنت- هورنبلنديت‌ها) بوده و در حدود ۵۷ تا ۶۱ میلیون سال پیش (پالغوسن میانی) است [۱۰]. فراوانی آمفیبیول و دیگر کانی‌های آبدار، طرح‌های کاملاً خودشکل گارنت و منطقه‌بندی نوسانی عنصر منیزیم در آن،

دگرگون اطراف در بعضی مناطق عادی بوده و منجر به تشکیل هاله‌ی دگرگونی با ضخامت حداکثر ۵۰ متر شده (شکل ۲ب) و در بعضی موارد نیز زمین ساختی است بهطوری که توده‌های ترونجمیتی ساختارهای میلونیتی نشان می‌دهند. در مجموعه‌ی دگرگونی سلطان‌آباد سنگ‌های رخساره‌ی شیست آبی دارای برونزدهای نسبتاً وسیع بوده و بهترین برونزد آن که دستخوش کمترین دگرگونی پسرونده شده، در جنوب سید‌آباد دیده می‌شود. چنان‌که خواهیم دید شواهد میکروسکوپی حاکی از آن است که بیشتر سنگ‌های رخساره‌ی شیست سبز منطقه، شیستهای آبی بوده‌اند که تا حد شیست سبز دگرگونی برگشتی پیدا کرده‌اند. در این منطقه واحدهای دگرگونی (به خصوص شیستهای آبی)، بهصورت مگالیت‌های بزرگ و کوچک، با زمینه‌ای سرپانتینیتی در بر گرفته شده‌اند همچنین قطعاتی از شیستهای آبی را می‌توان بهصورت برونوهمیان تیغه‌ای تا حد چندین ده متر در ترونجمیت‌ها یافت (شکل ۲پ). بیشتر شیستهای آبی دارای شیستوزیت‌ه فراگیر بوده و چین خورده‌اند (شکل ۳الف). در بعضی از نمونه‌ها نیز ناهمنگی ترکیبی بهصورت تناوبی از لایه‌های غنی از کلسیت، آمفیبول‌سدی و اپیدوت دیده می‌شود که بیانگر خاستگاه آتشفسانی-رسوبی آن‌هاست (شکل ۳ب). علی‌رغم بهمریخته‌گی و حالت آمیزه‌ای سنگ‌های دگرگون منطقه، برگوارگی عمومی واحدهای دگرگون به سمت شمال‌غربی-جنوب‌شرقی با شیب تند بطرف شمال‌شرق قرار گرفته‌اند.

وجود آب باعث کاهش میدان پایداری پلازیوکلاز و افزایش میدان پایداری آمفیبول شده ([۲۶، ۲۵]) و به عبارت دیگر آمفیبول در تشکیل فاز رستیت شرکت داشته و پلازیوکلاز وارد فاز گدازه می‌شود.

با توجه به شواهد صحرایی (رونده شمال‌غربی - جنوب‌شرقی و شیب رو به شمال، وجود لایه‌بندی ماگمایی، همچوایی با سرپانتینیت‌ها و شیستهای آبی در مرز جنوبی، ناهمنگی ترکیبی، محاسبات دما- فشار ۱۰ کیلوبار و دمای ۵۰۰ درجه سانتیگراد)، ترکیب شیمیایی سنگ کل، داده‌های سال-سنگی و نسبت‌های ایزوتوفی هافیم زیرکن، گنیس‌های منطقه‌ی سلطان‌آباد بخشی از دنباله‌ی پوسته‌ی اقیانوسی هستند که پرتوولیت آن‌ها در برگیرنده‌ی ماقمای بازی (بخش گابرویی پوسته‌ی اقیانوسی) تا جدایش (پلازیوگرانیت) پشتی میان اقیانوسی بوده و در نتیجه حرکت رو به شمال خرد قاره-ای ایران مرکزی دستخوش دگرگونی زون فروزانش در زمان اوسن بالایی شده‌اند [۱۰].

روابط صحرایی

مجموعه دگرگونی سلطان‌آباد بهصورت یک نوار دگرگونی به طول ۲۵ کیلومتر و عرض ۲ تا ۵ کیلومتر در بخش شمالی افیولیت‌های شمال‌شرق سبزوار رخمنون دارد. در داخل این مجموعه‌ی دگرگونی چند توده‌ی کوچک گرانیت‌وئیدی با ترکیب غالباً ترونجمیت دیده می‌شوند که بهصورت سین‌تکتونیک و ورقه‌ای در راستای روند عمومی سنگ‌های دگرگون منطقه تزریق شده‌اند (شکل ۲ب). مرز بین توده‌ها و سنگ‌های



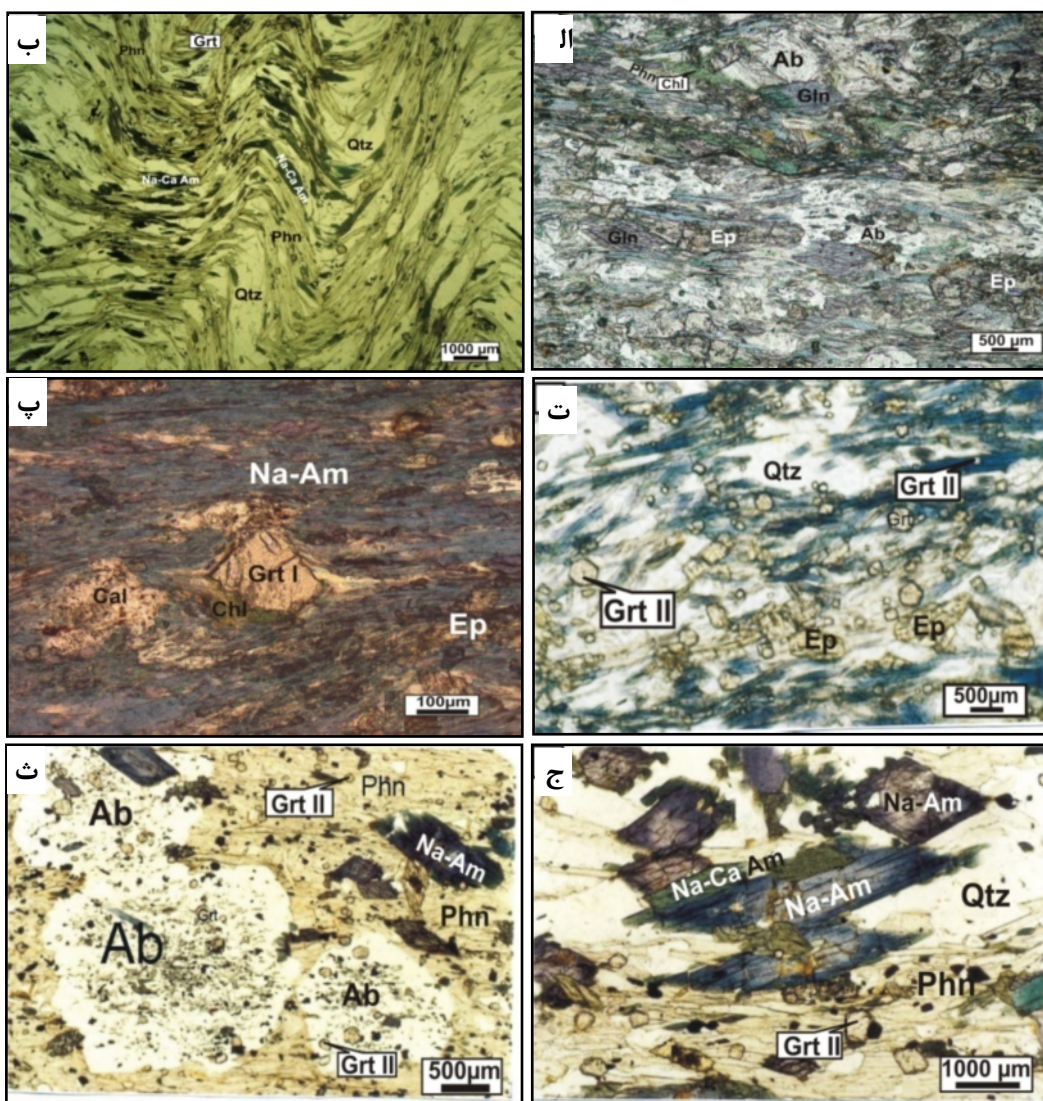
شکل ۳ الف- کلیواژ ثانویه (S2) نوع کرینولیشن در نمونه‌های دستی شیست آبی. ب- لایه‌بندی ترکیبی اولیه با تناوبی از کربنات (نوارهای روشن)، اپیدوت (نوارهای سبز) و آمفیبول سدیک (نوارهای آبی تیره) در نمونه‌های شیست آبی.

اسfen، بیوتیت و آپاتیت وجود دارند. در نمونه‌های دارای پروتولیت مافیک، آمفیبول سدی، آلبیت و اپیدوت از فراوانی بیشتری برخوردارند (شکل ۴الف). در بعضی از نمونه‌ها آمفیبول سدی بیش از ۹۰ درصد حجم سنگ را می‌سازد بهطوری که می‌توان آن‌ها را گلوکوفانیت نامید. در نمونه‌های دارای پروتولیت اسیدی، فنریت و کوارتز فراوان‌ترین کانی‌های سنگ را تشکیل می‌دهند (شکل ۴ب).

سنگ نگاری

با توجه به همگنی یا ناهمگنی پروتولیت، ترکیب کلی سنگ (اسیدی یا بازی)، شدت دگرگشکلی، درجه‌ی دگرگونی برگشتی و نیز فاصله‌ی شیست آبی از توده‌های ترونجمیتی، تنوع فراوانی در بافت، ترکیب کانی‌شناسی و مودی دیده می‌شود.

در مقطع نازک، کانی‌های سنگ‌ساز عبارتند از آمفیبول سدی (گلوکوفان - ریبکیت)، فنریت، اپیدوت، گارنت، کلریت، آلبیت، کوارتز و مقادیر کمی نیز کانی‌های فرعی نظیر ایلمنیت،



شکل ۴ الف- شیست آبی دارای پروتولیت بازی با داشتن مقادیر بیشتری آمفیبول، آلبیت و اپیدوت مشخص است. ب- شیستهای آبی دارای پروتولیت فلسيک دارای مقادیر زیادی فنریت و کوارتزند. در اين نمونه شیستوزیته دوم در حال شکل‌گيری است. پ- گارنت نسل اول (Grt I) که تبلور آن قبل یا همزمان با زمین‌ساختی و در حال تجزیه به گارنت نسل دوم (Grt II) که به صورت پراکنده به خرج کانی‌های دیگر (آمفیبول، اپیدوت و فنریت) و روی آن‌ها به وجود آمده‌اند. ث- تبلور پورفiroblast‌های درشت آلبیت که شامل ادخال‌هایی از کانی‌های زمینه هستند. ج- بلورهای آمفیبول دارای منطقه‌بندی (هسته آبی و حاشیه سبز) طی دگرگونی برگشتی به وجود آمده‌اند (همه تصاویر در نور طبیعی گرفته شده‌اند).

پورفیروبلاستهای آلبیت ادخال‌های گارنت، اپیدوت و آمفیبیول وجود دارد (شکل ۴ ت). در نگاه اول و در زیر میکروسکوپ بسیاری از شیستهای نظر پژوهشگران را به سمت شیسته سبز سوق می‌دهد ولی با بررسی میکروسکوپی دقیق‌تر می‌توان بقایایی از آمفیبیول آبی را در مرکز آمفیبیول‌های سبز و یا به‌صورت ادخال در پورفیروبلاستهای آلبیت شناسایی کرد. در بعضی از نمونه‌ها پورفیروبلاستهای درشت آمفیبیول سدی در حاشیه یا در راستای شکستگی‌های بلور به بیوتیت تجزیه شده‌اند. فرزیت در نمونه‌های دارای پروتولیت اسیدی سازنده‌ی اصلی برگوارگی بوده و فضای بین بلورهای آمفیبیول و آلبیت را پر می‌کند (شکل‌های ۴ ت و ۴ ج). در محل تماس فرزیت با گارنت و آمفیبیول، بیوتیت به صورت حاشیه واکنشی تشکیل شده است.

ترکیب کانی‌شناسی

به منظور شناخت ترکیب شیمیایی کانی‌ها و نیز محاسبات دما-فشارسنگی، روی کانی‌های ۵ نمونه از شیستهای آبی بیش از ۶۰۰ تجزیه ریزپردازشی نقطه‌ای صورت گرفت. در این بخش به تفصیل ترکیب کانی‌های سازنده‌ی شیستهای آبی و تغییرات ترکیبی این کانی‌ها طی شکل گیری دگرگونی تشریح می‌شود.

آمفیبیول

با توجه به مقادیر آلومینیوم هشت وجهی و آهن سه ظرفیتی، آمفیبیول‌های آبی (اولیه) که برگوارگی و خطوطوارگی سنگ و یا هسته آمفیبیول‌های سبز (ثانوی) را ساخته‌اند، از نوع گلوکوفان و ریه‌بکیت آهن و منیزیم‌دار هستند (جدول ۱ و شکل‌های ۵ الف و ۵ ب) در حالی که ترکیب نوارهای آمفیبیول سبز (ثانوی) موجود در حاشیه‌ی عبارتند از آمفیبیول‌های آبی باروئیزیت و به ندرت وینچیت (جدول ۲ و شکل ۵ پ).

تفاوت ترکیبی چندانی بین آمفیبیول‌های سدی پروتولیت‌های بازی و آمفیبیول‌های سدی موجود در سنگ‌های دگرگون فلزیک دیده شود، فقط آمفیبیول موجود در شیستهای آبی فلزیک آبی بازی نسبت به آمفیبیول موجود در شیستهای آبی فلزیک کمی غنی‌تر از Mg و فقیرتر از Fe هستند (جدول ۱). بین ادخال‌های آمفیبیول موجود در پورفیروبلاستهای آلبیت و آمفیبیول‌های زمینه‌ی سنگ نیز تفاوت ترکیبی چندانی مشاهده نمی‌شود.

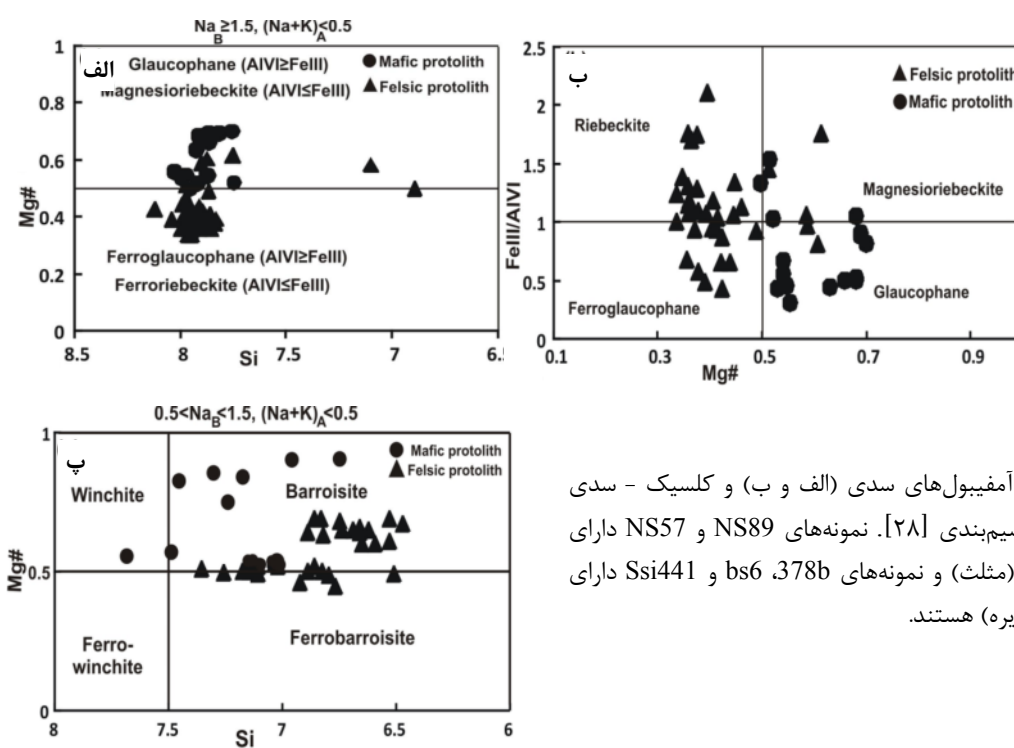
لایه‌بندی ترکیبی اولیه سنگ در مقطع نازک شامل نوارهای غنی از آمفیبیول، اپیدوت و کربنات است که گاهی چین‌خوردگی فشرده‌ای را نیز نشان می‌دهند. در بعضی از نمونه‌ها نیز کلیواژ ثانویه از نوع کربنولیشن دیده می‌شود (شکل ۴ ب). در نمونه‌های با پروتولیت فلزیک، آمفیبیول سدی دارای چندرنگی آبی متمایل به بنفش است اما در سنگ‌های با پروتولیت بازی پلی‌کروئیسم آبی کمنگ نشان می‌دهند. لازم به ذکر است که گلوکوفان خالص در زیر میکروسکوپ بی‌رنگ است و اگر آمفیبیول سدیک پلی‌کروئیسم آبی‌رنگ نشان دهد بدین معنی است که حاوی مقادیر قابل ملاحظه‌ای متشکله ریه‌بکیت و کرووسیت است [۲۷]. در اکثر نمونه‌ها، آمفیبیول علاوه بر اینکه در سنگ برگوارگی ایجاد می‌کند بلکه موجب ایجاد خطوطوارگی نیز می‌شود.

بررسی‌های سنگنگاری حاکی از آن است که دو نسل گارنت در شیستهای آبی موجود است. اولین نسل گارنت به صورت پورفیروبلاستهای قبل یا همزمان با زمین‌ساختی دیده می‌شود که گاهی به صورت بخشی یا کلی بوسیله‌ی کلریت و اپیدوت جانشین شده است (شکل ۴ پ). بر خلاف گارنت‌های نسل اول، گارنت‌های موجود در بعضی از نمونه‌های شیست آبی (گارنت نسل دوم) از نوع پس از زمین‌ساختی بوده و هیچ‌گونه آثار تجزیه‌ای از خود نشان نمی‌دهند و به فراوانی به صورت بلورهای ریز در متن سنگ و در بلورهای آمفیبیول، اپیدوت و فنزیت یافت می‌شوند (شکل ۴ ت). این امر بیانگر تبلور تاخری آن‌ها بوده و به نظر می‌رسد تشکیل آن‌ها به‌علت بالا رفتان گرادیان زمین گرمایی منطقه و به‌دبیال تزریق توده‌های ترونجمیتی صورت گرفته باشد.

شواهد سنگ نگاری مovid آن است که تبلور اپیدوت نیز در دو مرحله صورت گرفته است، به‌طوری که اپیدوت‌های نسل اول در شرایط رخساره‌ی شیست آبی به وجود آمده و در برگوارگی سنگ شرکت داشته‌اند در حالی که پورفیروبلاست‌های اپیدوت نسل دوم متقطع با برگوارگی زمینه سنگ بوده و آنرا به صورت شیستوزیتنه داخلی (S_i) در برگرفته‌اند. محصولات دگرگونی برگشتی شامل پورفیروبلاستهای درشت آلبیت (شکل ۴ ث)، جانشینی حاشیه‌ای یا کامل آمفیبیول سدی به وسیله‌ی آمفیبیول سبز کلسیک - سدی (شکل ۴ ج) و تجزیه گارنت‌های نسل اول به کلریت و اپیدوت هستند. در

جدول ۱ نتایج آنالیز شیمیایی گلوکوفان و ریبکیت. فرمول ساختاری آمفیبول بر اساس ۲۳ اکسیژن است. آهن کل به صورت FeOt محاسبه شده است.

Sample	Ns57 (فلسیک)				Ns89 (فلسیک)			Ssi441 (مافیک)			378b (مافیک)		
SiO_2	۵۵,۶	۵۴,۸۷	۵۵,۱۸	۵۵,۷۴	۵۴,۶۴	۵۷,۶۴	۵۶,۰۷	۵۶,۲۶	۵۵,۳۶	۵۵,۸۳	۵۵,۵۸	۵۵,۶۳	۵۶,۱۳
TiO_2	۰,۵۰۰	۰,۰۳۷	۰,۰۰۵	۰,۰۰	۰,۰۲	۰,۰۳	۰,۰۰	۰,۰۲	۰,۰۴	۰,۰۰	۰,۰۲	۰,۰۳	۰,۰۱
Al_2O_3	۶,۷۰	۷,۹۸	۵,۴۷	۷,۸۳	۵,۸۵	۷,۰۳	۷,۰۶	۹,۵۶	۷,۶۳	۹,۱۱	۵,۱۳	۴,۵۳	۵,۳۷
FeO^t	۲۲,۲۸	۲۰,۱۹	۲۲,۷۹	۱۸,۶۹	۲۱,۰۵	۱۴,۳۱	۱۶,۳۲	۱۲,۴۴	۱۶,۲۲	۱۶,۳۵	۱۸,۷	۱۹,۰۴	۱۸,۰۶
MnO	۰,۲۳۲	۰,۲۲۵	۰,۲۶۱	۰,۲۸	۰,۲۵	۰,۳۹۶	۰,۲۷	۰,۴۲۵	۰,۳۹۴	۰,۲۳۲	۰,۲۸۵	۰,۲۵۷	۰,۳۸۴
MgO	۶,۷۷	۶,۵۳	۶,۷۸	۷,۸۵	۷,۴۵	۱۱,۹۵	۷,۹	۹,۱۴	۹,۷۲	۹,۳۶	۹,۷۵	۱۰,۰۲	۱۰,۰۸
CaO	۰,۱۷	۰,۱۸	۰,۱۷	۰,۲۹	۰,۴	۰,۲۱	۰,۴۴	۰,۳۶	۱,۷	۰,۱۵	۰,۵۵	۰,۷۲	۰,۷
Na_2O	۷,۲۱	۶,۰۱	۶,۸۷	۶,۹۸	۷,۳۵	۸,۲۱	۷,۰۴	۷,۳۴	۸,۵۵	۷,۰۵	۶,۷۶	۶,۶۶	۶,۸۴
K_2O	۰,۰۱	۱,۳۶	۰,۰۴	۰,۰۱	۰,۰۳	۰,۰۴	۰,۰۰	۰,۰۱	۰,۱۱	۰,۰۳	۰,۰۰	۰,۰۲	۰,۱
Total	۹۸,۳۹	۹۷,۳۱	۹۷,۵۷	۹۷,۶۶	۹۶,۹۹	۹۹,۷۸	۹۸,۱۹	۹۶,۵۸	۹۷,۸۱	۹۵,۸۵	۹۶,۸	۹۶,۹۱	۹۷,۷
Si	۷,۹۵	۷,۸۸	۷,۹۵	۷,۸۸	۷,۹۱	۷,۸۵	۷,۹۳	۷,۹۱	۷,۸	۷,۸۸	۷,۹۲	۷,۹۳	۷,۹۲
Ti	۰,۰۰۱	۰,۰۰۴	۰,۰۰	۰,۰۰	۰,۰۰۲	۰,۰۰۳	۰,۰۰	۰,۰۲	۰,۰۰	۰,۰۰	۰,۰۰	۰,۰۰	۰,۰۰
Al^{IV}	۰,۰۴	۰,۱۱	۰,۰۴	۰,۱۱	۰,۰۸	۰,۱۴	۰,۰۶	۰,۰۸	۰,۱۹	۰,۱۱	۰,۰۰	۰,۰۶	۰,۰۷
Al^{VI}	۰,۹۷	۱,۲۳	۰,۸۸	۱,۱۹	۰,۹۱	۰,۹۸	۱,۱	۱,۵	۱,۰۷	۱,۳۹	۰,۷۹	۰,۷	۰,۸۲
Fe^{2+}	۱,۵۳	۱,۴۴	۱,۴۵	۱,۲	۱,۴۷	۰,۶۲	۱,۳	۱,۰۶	۱,۰۴	۰,۸۷	۰,۸۶	۰,۸۵	۰,۸۶
Fe^{3+}	۱,۰۱	۰,۰۰	۱,۱۶	۰,۹	۰,۹۷	۰,۹	۰,۸۸	۰,۴۶	۰,۷۷	۰,۷۳	۱,۲۲	۱,۲۷	۱,۱۳
Mn	۰,۰۲	۰,۲۷	۰,۰۳	۰,۰۳	۰,۰۳	۰,۰۴	۰,۰۳	۰,۰۵	۰,۰۴	۰,۰۲	۰,۰۳	۰,۰۳	۰,۰۴
Mg	۱,۴۴	۱,۳۹	۱,۴۵	۱,۶۵	۱,۶	۲,۴۳	۱,۶۶	۱,۹۱	۲,۰۴	۱,۹۶	۲,۰۷	۲,۱۳	۲,۱۲
Ca	۰,۰۲	۰,۰۲	۰,۰۲	۰,۰۴	۰,۰۶	۰,۰۳	۰,۰۶	۰,۰۵	۰,۲۵	۰,۰۲	۰,۰۸	۰,۱۱	۰,۱
Na	۲	۱,۶۷	۱,۹۲	۱,۹۱	۲,۰۶	۲,۱۷	۱,۹۳	۲	۱,۷۹	۱,۹۳	۱,۸۷	۱,۸۴	۱,۸۷
K	۰,۰۰	۰,۲۴	۰,۰۰	۰,۰۰	۰,۰۰	۰,۰۰	۰,۰۰	۰,۰۰	۰,۰۲	۰,۰۰	۰,۰۰	۰,۰۰	۰,۰۱
Sum Cat.	۱۴,۹۸	۱۴,۲۵	۱۴,۹	۱۴,۹۱	۱۵,۰۹	۱۵,۱۶	۱۴,۹۵	۱۵,۰۴	۱۴,۹۹	۱۴,۹۱	۱۴,۸۴	۱۴,۹۲	۱۴,۹۴
Mg#	۴۸	۴۹	۵۰	۵۷	۵۲	۷۹	۵۶	۶۴	۶۶	۶۹	۷۰	۷۱	۷۰



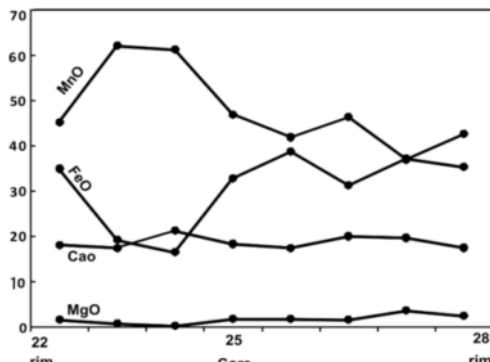
شکل ۵ ردیابی آمفیبول‌های سدی (الف و ب) و کلسیک - سدی (پ) بر اساس تقسیم‌بندی [۲۸]. نمونه‌های NS57 و NS89 دارای پروتولیت اسیدی (مثلث) و نمونه‌های Ssi441 و ۳۷۸b دارای پروتولیت بازی (دایره) هستند.

جدول ۲ نتایج تجزیه‌ی شیمیایی آمفیبول‌های سدی - کلسیک (باروئیزیت و وینچیت). فرمول ساختاری این آمفیبول‌ها بر اساس ۲۳ اکسیژن است. آهن کل به صورت FeOt محاسبه شده است.

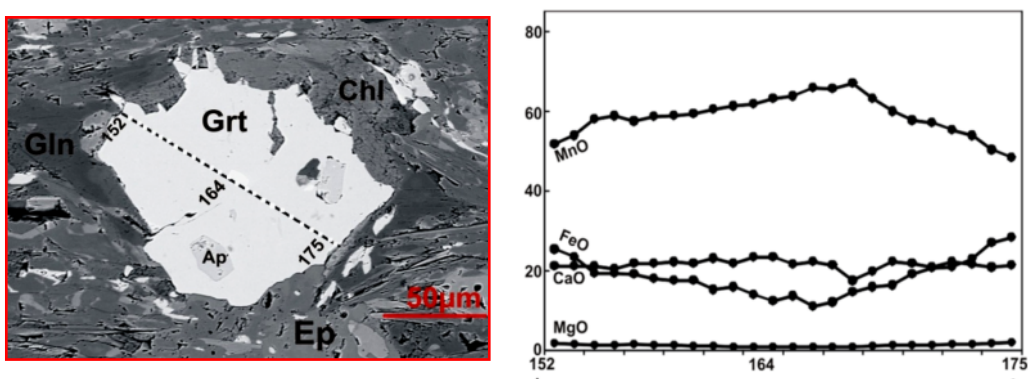
Sample	Ns57 (فلسیک)	Ns89 (فلسیک)				Ssi441 (مافیک)				BS6 (فلسیک)			378b (مافیک)	
SiO ₂	51,۹۶	۴۹,۰۴	۴۹,۱۴	۴۸,۸۹	۵۰,۳۴	۵۱,۸۳	۵۰,۰۱	۴۹,۴۵	۴۸,۳۵	۴۴,۳۶	۴۷,۸۸	۴۸,۰	۵۳,۷۱	۵۲,۳۲
TiO ₂	۰,۰۶	۰,۱۴	۰,۱۵	۰,۱۲	۰,۰۹	۰,۱۵	۰,۱۲	۰,۲	۰,۲	۰,۲۹	۰,۳۱	۰,۲۲	۰,۰۸	۰,۰۹
Al ₂ O ₃	۵,۴	۵,۱۷	۵,۲۷	۴,۹۴	۴,۳۲	۷,۶۳	۵,۳۸	۷,۰۴	۶,۵۳	۹,۴۲	۹,۰۸	۸,۲۷	۳,۹۵	۴,۲۸
FeO ^۱	۲۰,۰۹	۲۱,۴۱	۲۰,۸۳	۱۹,۷۵	۱۹,۹	۱۶,۸۵	۱۷,۶۲	۱۸,۷۹	۱۸,۳۷	۱۹,۸۳	۱۹,۱۸	۱۸,۳۵	۱۸,۴۲	۱۸,۱
MnO	۰,۶۸	۰,۷۹	۰,۸۷	۰,۷۹	۰,۹۵	۰,۴۳	۰,۶۱	۰,۵۵	۰,۶۲	۰,۲۸	۰,۳۷	۰,۳۱	۰,۲	۰,۱۴
MgO	۱۰,۰۷	۱۰,۵۴	۱۰,۶۵	۱۰,۶۴	۱۰,۸۸	۱۰,۴۶	۱۲,۱۲	۱۰,۶۶	۱۱,۲۶	۱۰,۰۲	۱۰,۰۱	۱۰,۶۹	۱۱,۹	۱۲,۴
CaO	۶,۵۱	۶,۰۵	۵,۷۴	۶,۶۶	۶,۶۹	۴,۵۲	۷,۷۱	۶,۰۴	۶,۹۷	۷,۱۵	۵,۹۲	۸,۵۱	۳,۴۳	۴,۸۵
Na ₂ O	۳,۵۳	۴,۱۲	۴,۳۴	۴,۱۴	۳,۵۲	۵,۳۴	۳,۱۸	۴,۳۲	۳,۷۴	۳,۹۴	۴,۶۸	۳,۳۷	۵,۳۴	۴,۷
K ₂ O	۰,۲۳	۰,۳۴	۰,۲۹	۰,۳۴	۰,۲۸	۰,۲۴	۰,۲۱	۰,۳۱	۰,۳۱	۰,۳۶	۰,۲۸	۰,۲۹	۰,۱	۰,۲۱
Total	۹۸,۵۷	۹۷,۶۵	۹۷,۲۸	۹۶,۲۹	۹۷,۰۳	۹۷,۴۲	۹۶,۹۶	۹۷,۳۹	۹۷,۳۹	۹۵,۷۲	۹۷,۷	۹۸,۱۶	۹۷,۱۲	۹۷,۰۹
Si	۷,۵	۷,۲۱	۷,۲۲	۷,۳	۷,۴۱	۷,۴۵	۷,۳	۷,۲۱	۷,۱۴	۶,۶۷	۶,۹۷	۷,۰۲	۷,۶۹	۷,۵۴
Ti	۰,۰۰	۰,۰۱	۰,۰۱	۰,۰۱	۰,۰۱	۰,۰۱	۰,۰۱	۰,۰۲	۰,۰۳	۰,۰۳	۰,۰۲	۰,۰۰	۰,۰۱	۰,۰۱
Al ^{IV}	۰,۴۹	۰,۷۸	۰,۷۷	۰,۶۹	۰,۵۸	۰,۵۴	۰,۶۹	۰,۷۸	۰,۸۵	۱,۳۲	۱,۰۲	۰,۹۷	۰,۳	۰,۴۵
Al ^{VI}	۰,۴۲	۰,۱	۰,۱۴	۰,۱۷	۰,۱۶	۰,۷۴	۰,۲۳	۰,۴۲	۰,۲۷	۰,۳۴	۰,۵۳	۰,۴۴	۰,۳۶	۰,۲۶
Fe ²⁺	۱,۰	۰,۹۶	۰,۹	۱,۲۴	۱,۰۸	۱,۱	۰,۹۶	۱,۲	۰,۹۶	۱,۰۱	۱,۳۵	۰,۶۹	۰,۷۲	
Fe ³⁺	۰,۰۸	۱,۵	۱,۴۹	۱,۱	۱,۲۲	۰,۸۳	۱,۰۷	۱,۱۴	۱,۱۹	۱,۳۹	۱,۱۸	۰,۸	۱,۳۵	۱,۳۱
Mn	۰,۰۸	۰,۰۹	۰,۱	۰,۱	۰,۱۱	۰,۰۵	۰,۰۷	۰,۰۶	۰,۰۷	۰,۰۳	۰,۰۴	۰,۰۳	۰,۰۲	۰,۰۱
Mg	۲,۱۶	۲,۳۱	۲,۳۳	۲,۳۶	۲,۳۸	۲,۲۴	۱,۹۱	۲,۳۱	۲,۴۷	۲,۲۴	۲,۱۷	۲,۳۳	۲,۵۴	۲,۶۶
Ca	۱,۰۰	۰,۹۵	۰,۹	۱,۰۶	۱,۰۵	۰,۶۹	۱,۲	۰,۹۴	۱,۱	۱,۱۵	۰,۹۲	۱,۳۳	۰,۵۲	۰,۷۴
Na	۰,۹۸	۱,۱۷	۱,۱۳	۱,۱۹	۱,۰	۱,۴۹	۰,۹	۱,۲۲	۱,۰۷	۱,۱۴	۱,۳۲	۰,۹۵	۱,۴۸	۱,۳۱
K	۰,۰۴	۰,۰۶	۰,۰۵	۰,۰۶	۰,۰۵	۰,۰۴	۰,۰۴	۰,۰۵	۰,۰۵	۰,۰۶	۰,۰۵	۰,۰۵	۰,۰۱	۰,۰۳
Sum Cat.	۱۳,۷۵	۱۵,۱۴	۱۵,۰۴	۱۵,۲۸	۱۵,۰۵	۱۵,۱۸	۱۴,۳۸	۱۵,۳۲	۱۵,۱۷	۱۵,۲	۱۵,۲۴	۱۵,۲۷	۱۴,۹۶	۱۵,۰۴
Mg#	۶۲	۷۰	۷۲	۶۵	۶۸	۶۷	۷۳	۶۹	۷۲	۷۰	۶۸	۶۳	۷۸	۷۸

در هر دو نوع گارنت نسل اول و دوم، تغییرات ترکیب شیمیایی شامل کاهش منگنز و افزایش آهن و منیزیم از مرکز به حاشیه است، ولی کلسیم تغییرات چندانی را نشان نمی‌دهد (شکل‌های ۶ و ۷). این گونه الگوهای منطقه‌بندی بیانگر تبلور و رشد گارنت طی دگرگونی پیشرونده است ([۳۰, ۲۹]). افزایش گارنت نیز موید توزیع و جذب دوباره‌ی این عناصر طی دگرگونی پیشرونده است ([۳۱]).

گارنت از آشکارترین ویژگی‌های ترکیب شیمیایی گارنت‌ها، فراوانی سازنده‌ی اسپسارتین در هر دو نوع گارنت نسل اول و دوم است (جدول ۳). سازه‌ای گارنت شامل: اسپسارتین (۴۱ تا ۲۱ درصد)، آلماندن (۱۰ تا ۳۷ درصد)، گروسولار (۱۰ تا ۲۲ درصد) و پیروپ (۰ تا ۳ درصد) است. ترکیب شیمیایی گارنت‌های نسل اول مشابه گارنت‌های نسل دوم بوده و تنها نسبت به آن‌ها کمی غنی‌تر از سازنده گروسولار هستند.



شکل ۶ منطقه‌بندی در گارنت‌های نسل دوم بیانگر تمرکز منگنز و تا اندازه‌ای کلسیم در مرکز و غنی‌شدن آهن در حاشیه است. کاهش آهن و افزایش منگنز در حاشیه‌ی خارجی ناشی از پدیده‌ی انتشار طی دگرگونی پیشرونده است.



شکل ۷ تصویر BSE گارنت و الگوهای منطقه‌بندی آن در انواع نسل اول شامل کاهش Mn و افزایش Fe^{2+} و Mg از مرکز به حاشیه بلور است و بیانگر رشد گارنت در مرحله دگرگونی پیشرونده است. افزایش Mn، نسبت Mn/Mg در خارجی ترین بخش گارنت نیز مovid تبادلات یونی طی دگرگونی پسروند است.

جدول ۳ نتایج تجزیه شیمیایی حاشیه و مرکز گارنت در سه نمونه از شیسته‌های آبی. فرمول ساختاری گارنت بر اساس ۱۲ اکسیژن محاسبه شده و جدایش آهن دو و سه ظرفیتی به روش تعادل بار صورت گرفته است. آهن کل به صورت FeO^t محاسبه شده است.

Sample	(Ns57)						(Ns89)						(Ssi441)					
	گارنت ثانویه (Grt II)			گارنت ثانویه (Grt II)			گارنت اولیه (Grt I)			گارنت اولیه (Grt I)			گارنت اولیه (Grt I)			گارنت اولیه (Grt I)		
mineral	مرکز	مرکز	مرکز	مرکز	مرکز	مرکز	مرکز	مرکز	مرکز	مرکز	مرکز	مرکز	مرکز	مرکز	مرکز	مرکز	حاشیه	
position	مرکز	مرکز	مرکز	مرکز	مرکز	مرکز	مرکز	مرکز	مرکز	مرکز	مرکز	مرکز	مرکز	مرکز	مرکز	مرکز	حاشیه	
SiO_2	۳۶.۶۸	۳۶.۴	۴۰.۷۹	۳۸.۰۳	۳۶.۰	۳۵.۱۷	۳۵.۹۷	۳۵.۴۲	۳۵.۴۴	۳۶.۵۲	۳۸.۸۷	۳۶.۶	۳۶.۷۸	۳۶.۱۵	۳۶.۱۵	۳۶.۱۵		
TiO_2	۰.۲۶	۰.۲۲	۰.۲	۰.۰۷	۰.۱۶	۰.۱۳	۰.۱۲	۰.۱۱	۰.۱۲	۰.۱۸	۰.۲۳	۰.۱۴	۲.۱۵	۰.۱۸	۰.۱۸	۰.۱۸		
Al_2O_3	۱۹.۵۴	۱۹.۴۲	۱۸.۶۸	۱۸.۹۳	۱۹.۶۶	۱۹.۸	۱۹.۸۱	۲۰.۰۸	۲۰.۹۳	۲۰.۲	۲۰.۲۱	۲۱.۳۱	۲۰.۳۲	۲۰.۳۵	۲۰.۳۵	۲۰.۳۵		
FeO^t	۱۱.۱۶	۱۰.۰۴	۱۴.۹۶	۱۶.۸۷	۱۰.۴۷	۱۰.۰۷	۱۰.۰۷	۱۰.۳۶	۱۵.۱۸	۹.۵	۱۱.۹۲	۸.۹۷	۱۴.۱۳	۱۲.۰۸	۱۵.۳۲	۱۵.۳۲	۱۵.۳۲	
MnO	۲۸.۹۸	۲۸.۰۷	۱۶.۳	۱۹.۰۱	۳۰.۴۳	۲۹.۰۶	۲۲.۹۸	۲۴.۶۹	۲۷.۶۱	۲۴.۹۴	۲۷.۸۲	۲۰.۹۸	۲۴.۱۱	۲۰.۶	۲۰.۶	۲۰.۶		
MgO	۰.۱۹	۰.۱۴	۰.۷۹	۰.۶۲	۰.۴۷	۰.۶۱	۰.۷۱	۰.۶۹	۰.۲۳	۰.۳۴	۰.۲۱	۰.۴۲	۰.۳۱	۰.۴۸	۰.۴۸	۰.۴۸		
CaO	۶.۰۲	۶.۴۷	۵.۱۱	۶.۱۹	۳.۴۲	۳.۳۳	۳.۵۹	۳.۰۶	۶.۴۱	۶.۴۹	۷.۴۴	۷.۰۴	۶.۹۸	۷.۱۹	۷.۱۹	۷.۱۹	۷.۱۹	
Na_2O	۰.۰۰	۰.۰۳	۰.۰۹	۰.۳۹	۰.۰۱	۰.۰۰	۰.۱	۰.۰۱	۰.۰۰	۰.۰۳	۰.۰۱	۰.۰۰	۰.۰۰	۰.۰۰	۰.۰۰	۰.۰۰	۰.۰۰	
Total	۱۰۰.۸۹	۱۰۰.۵۷	۹۸.۶۹	۱۰۰.۴	۱۰۰.۶۸	۹۹.۲۱	۹۹.۷	۹۹.۳۴	۱۰۰.۲	۱۰۰.۶۵	۱۰۰.۸۲	۱۰۰.۱۵	۱۰۰.۸۲	۱۰۰.۲۲	۱۰۰.۲۲	۱۰۰.۲۲		
Si	۲.۹۷	۲.۹۳	۳.۳۹	۳.۱	۲.۹۴	۲.۹۱	۲.۹۵	۲.۹۲	۲.۸۷	۲.۹۵	۲.۹	۲.۹۱	۲.۹۶	۲.۹۲	۲.۹۲	۲.۹۲		
Ti	۰.۰۱	۰.۰۱	۰.۰۱	۰.۰۰	۰.۰۱	۰.۰۰	۰.۰۰	۰.۰۰	۰.۰۰	۰.۰۱	۰.۰۰	۰.۰۰	۰.۰۰	۰.۰۰	۰.۰۰	۰.۰۰		
Al^{IV}	۰.۰۲	۰.۰۶	۰.۰۰	۰.۰۰	۰.۰۵	۰.۰۸	۰.۴	۰.۰۷	۰.۱۲	۰.۴	۰.۰۹	۰.۰۸	۰.۰۳	۰.۰۷	۰.۰۷	۰.۰۷		
Al^{VI}	۱.۸۴	۱.۷۹	۱.۸۳	۱.۷۹	۱.۸۳	۱.۸۴	۱.۸۶	۱.۸۷	۱.۸۸	۱.۸۸	۱.۸۲	۱.۹۴	۱.۸۹	۱.۸۷	۱.۸۷	۱.۸۷		
Fe^{2+}	۰.۵۹	۰.۴۲	۱.۰۴	۱.۰۷	۰.۴۸	۰.۵۱	۰.۸۵	۰.۸۴	۰.۴	۰.۶۴	۰.۳۳	۰.۸۲	۰.۶۷	۰.۸۴	۰.۸۴	۰.۸۴		
Fe^{3+}	۰.۱۵	۰.۲۳	۰.۰۰	۰.۰۳	۰.۲	۰.۲۲	۰.۱۷	۰.۱۸	۰.۲۲	۰.۱۴	۰.۲۴	۰.۱۱	۰.۱۲	۰.۱۷	۰.۱۷	۰.۱۷		
Mn	۱.۸۵	۱.۹۳	۱.۱۴	۱.۲۹	۲.۱	۲.۰۳	۱.۶۶	۱.۷۲	۱.۹	۱.۷	۱.۹	۱.۴۳	۱.۶۴	۱.۴۱	۱.۴۱	۱.۴۱		
Mg	۰.۰۲	۰.۰۱	۰.۰۹	۰.۰۷	۰.۵	۰.۰۷	۰.۰۸	۰.۰۸	۰.۰۲	۰.۰۴	۰.۰۲	۰.۰۵	۰.۰۳	۰.۰۵	۰.۰۵	۰.۰۵		
Ca	۰.۵۲	۰.۵۶	۰.۴۵	۰.۵۳	۰.۲۹	۰.۲۹	۰.۳۱	۰.۲۷	۰.۵۵	۰.۵۶	۰.۶۴	۰.۶۱	۰.۶	۰.۶۲	۰.۶۲	۰.۶۲		
Na	۰.۰۰	۰.۰۰	۰.۰۱	۰.۰۶	۰.۰۰	۰.۰۰	۰.۰۰	۰.۰۰	۰.۰۰	۰.۰۰	۰.۰۰	۰.۰۰	۰.۰۰	۰.۰۰	۰.۰۰	۰.۰۰		
Sum Cat.	۷.۹۷	۷.۹۴	۷.۹۶	۷.۹۴	۸.۱	۷.۹۵	۸.۲۸	۷.۹۵	۷.۹۶	۷.۹۶	۷.۹۵	۷.۹۵	۷.۹۴	۷.۹۶	۷.۹۶	۷.۹۶		
Mg#	۳	۳	۸	۶	۱۰	۷	۹	۹	۶	۶	۷	۵	۵	۶	۵	۶		
Grs	۱۷	۱۹	۱۶	۱۷	۱۰	۱۰	۹	۹	۱۹	۱۹	۲۲	۲۰	۲۰	۲۱	۲۰	۲۱		
Pyp	۰.۷	۰.۵۵	۳	۲	۱	۲	۲	۲	۰.۷۷	۱	۰.۷۶	۱	۱	۱	۱	۱		
Alm	۱۹	۱۳	۳۷	۳۵	۱۶	۱۷	۲۸	۲۸	۱۳	۲۱	۱۰	۲۷	۲۲	۲۸	۲۲	۲۸		
Sps	۶۱	۶۵	۴۱	۴۲	۷۱	۶۹	۵۶	۵۸	۶۵	۵۷	۶۵	۴۹	۵۵	۴۸	۴۹	۴۸		

چندانی مشاهده نشد. میزان سازنده‌ی پیستاسیت در اپیدوت از ۲۰ تا ۴۰ درصد متغیر است. اپیدوت منطقه‌بندی نامنظم و متفاوت از یک نمونه سنگ به نمونه‌ی دیگر و یا در مقاطع

اپیدوت از هر دو نوع اپیدوت اولیه و ثانویه تجزیه‌ی ریزپردازشی نقطه-ای بعمل آمد (جدول ۴) ولی در ترکیب شیمیایی آن‌ها تفاوت

شیمیابی فنریت از مرکز به حاشیه، کاهش سازی سلادونیت و در نتیجه کاهش تعداد اتم‌های سیلیسیوم از مرکز به حاشیه بلور است که احتمالاً ناشی از پدیده‌ی انتشار و توزیع دواره و یا خروج سازی سلادونیت از فنریت و تشکیل بیوتیت ثانویه طی دگرگونی پسرونده است ([۲۷]). از نظر ترکیبی، فنریت موجود در پروتولیت‌های بازی و اسیدی مشابه هستند.

مختلف یک نمونه نشان می‌دهد که به صورت کاهش تمرکز سازنده‌ی پیستاسیت از حاشیه به مرکز بلور است.

فنریت

آنالیز شیمیابی فنریت در جدول ۴ ارائه شده است. سازه‌ای اصلی فنریت عبارتند از موسکویت (۴۷ تا ۵۶ درصد)، سلادونیت (۲۱ تا ۵۶ درصد)، پاراگونیت (۱۱ تا ۱۶ درصد) و فلوگوپیت (۳ تا ۵ درصد) روشن‌ترین شاخص تغییرات ترکیب

جدول ۴ نتایج تجزیه‌ی ریزپردازشی کانی‌های فنریت، اپیدوت، آلبیت، کلریت، اسفن، فرمول شیمیابی اسفن بر اساس ۴ اکسیژن، آلبیت ۸ اکسیژن، کلریت ۲۸ اکسیژن، فنریت ۲۲ اکسیژن و اپیدوت ۱۲/۵ اکسیژن و سه ظرفیتی بهروش تعادل بار صورت گرفته و آهن کل به صورت FeO^t محاسبه شده است. $\text{Ti}-\text{Mn}-\text{Ca}-\text{WM}$ سازای میکائی سفید دارای تیتانیوم، منگنز و کلسیم است و X Ps گرفته و آهن کل به صورت FeO^t محاسبه شده است. متشکله پیستاسیت کانی اپیدوت است.

Sample	Ns57 (فلسیک)								(Mafیک) Ssi441							
	فنریت		اپیدوت		اسفن	آلبیت	اپیدوت		فنریت		کلریت	اسفن	آلبیت			
mineral	مرکز	حاشیه	مرکز	حاشیه			مرکز	حاشیه	مرکز	حاشیه			مرکز	حاشیه	آلبیت	
position																
SiO_2	۵۱/۵۲	۴۸/۶۱	۳۷/۴۴	۳۹/۰۵	۳۰/۲	۶۸/۱۵	۳۷/۶۹	۳۷/۷۴	۵۰/۱۸	۴۸/۳۳	۲۶/۶۶	۲۹/۷۸	۶۷/۲۸			
TiO_2	۰/۱	۰/۲۲	۰/۰۲	۰/۰۳	۳۸/۶	۰/۰۰	۰/۰۲	۰/۲	۰/۱۴	۰/۳۵	۰/۰۴	۳۹/۱۳	۰/۰۰			
Al_2O_3	۲۲/۷۵	۲۲/۳۷	۲۰/۹۳	۲۲/۴۱	۰/۶۱	۱۸/۹۱	۲۵/۲۸	۲۴/۰۶	۲۲/۸۱	۲۴/۹۴	۱۸/۱۲	۰/۷۳	۲۰/۳۱			
FeO^t	۵/۲۴	۳/۱۴	۱۶/۵۳	۱۵/۰۲	۰/۷۵	۰/۰۲	۱۰/۹۸	۱۲/۷	۵/۴۳	۷/۲	۲۲/۶۷	۰/۵۸	۰/۱۶			
MnO	۰/۰۵	۰/۰۷	۰/۶۸	۰/۶۹	۰/۰۴۳	۰/۰۵	۱/۱۷	۰/۴۱	۰/۱	۰/۲۳	۱/۰۷	۰/۰۴	۰/۱۲			
MgO	۲/۶۷	۳/۲	۰/۰۰	۰/۰۶	۰/۰۲	۰/۰۰	۰/۰۳	۰/۰۱	۴/۲۷	۲/۳	۱۸/۱۷	۰/۰۰	۰/۰۰			
CaO	۰/۰۱	۰/۰۵	۲/۲	۲۰/۹۸	۲۷/۷	۰/۰۴	۲۲/۳۱	۲۲/۸۸	۰/۰۱	۰/۰۵	۰/۰۰	۲۷/۶۷	۰/۱۵			
Na_2O	۰/۱۴	۰/۸۴	۰/۰۰	۰/۰۵	۰/۰۸	۱۱/۹۲	۰/۰۰	۰/۰۰	۰/۱۵	۰/۳۱	۰/۰۰	۰/۰۷	۱۱/۷			
K_2O	۱۱/۱۳	۱۰/۰۲	۰/۰۰	۰/۰۰	۰/۰۷	۰/۰۳	۰/۰۰	۰/۰۰	۱۱/۴۲	۱۰/۸۲	۰/۰۰	۰/۰۰	۰/۰۳			
Total	۹۴/۷۸	۹۵/۱۳	۹۷/۸۲	۹۸/۳۱	۹۸/۱	۹۹/۳۵	۹۷/۵۱	۹۷/۵۱	۹۴/۷۱	۹۵/۸	۸۷/۸	۹۸/۰۴	۹۹/۸۴			
Si	۷/۰۵	۶/۶۹	۳/۰۱	۳/۰۸	۱	۳/۰	۲/۹۸	۲/۹۹	۶/۹	۶/۵۸	۵/۶	۱	۲/۹۵			
Ti	۰/۰۱	۰/۰۲	۰/۰۰	۰/۰۰	۰/۹۶	۰/۰۰	۰/۰۰	۰/۰۱	۰/۰۱	۰/۰۳	۰/۰۰	۰/۹۸	۰/۰۰			
Al^{IV}	۰/۹۴	۱/۳	۲/۱۶	۲/۰۸	۰/۰۲	۰/۹۸	۲/۳۵	۲/۲۴	۰/۹	۱/۴۱	۲/۳۹	۰/۰۲	۱/۰۵			
Al^{VI}	۲/۷۲	۲/۴۸							۲/۶	۲/۵۸	۲/۰۸					
Fe^{2+}	۰/۶	۰/۳۶							۰/۳۵	۰/۲۳	۴/۱۶		۰/۰۰			
Fe^{3+}	۰/۰۰	۰/۵۶	۱	۰/۸۹	۰/۰۱		۰/۸۵	۰/۷۵	۰/۲۳	۰/۵۳		۰/۰۱	۰/۰۰			
Mn	۰/۰۰	۰/۰۰	۰/۰۴	۰/۰۴	۰/۰۰	۰/۰۰	۰/۰۷	۰/۰۲	۰/۰۱	۰/۰۲	۰/۱۹	۰/۰۰	۰/۰۰			
Mg	۰/۷۴	۰/۶۵	۰/۰۰	۰/۰۰	۰/۰۰	۰/۰۰	۰/۰۰	۰/۰۰	۰/۸۷	۰/۶۷	۵/۶۹	۰/۰۰	۰/۰۰			
Ca	۰/۰۰	۰/۰۰	۱/۹۱	۱/۷۷	۰/۹۸	۰/۰۰	۱/۸۹	۱/۹۴	۰/۰۰	۰/۰۰	۰/۹۹	۰/۰۰	۰/۰۰			
Na	۰/۰۳	۰/۲۲	۰/۰۰	۰/۰۰	۰/۰۰	۱/۰۱	۰/۰۰	۰/۰۰	۰/۰۴	۰/۰۸	۰/۰۰	۰/۰۰	۰/۹۹			
K	۱/۹۴	۱/۷۵	۰/۰۰	۰/۰۰	۰/۰۰	۰/۰۰	۰/۰۰	۰/۰۰	۲/۰	۱/۸۸	۰/۰۰	۰/۰۰	۰/۰۰			
Sum Cat.	۱۴/۰۳	۱۴/۰۳	۸/۱۲	۷/۸۶	۲/۹۷	۴/۹۹	۷/۹۴	۷/۹۵	۱۴/۰	۱۴/۲۸	۲۰/۱۱	۳	۴/۹۹			
X Ps			۲۳	۲۹			۲۱	۲۵								
Ms	۳۹/۱	۳۲/۵							۳۹/۵	۴۴/۷						
Cel	۵۳	۳۵/۲							۴۵/۹	۲۹/۸						
Pg	۱/۹	۱۱/۲							۱/۹	۴/۲						
Phl	۴/۸	۵							۵	۵						
Ti-Mn-Ca-Ms	۱/۲	۱۶/۱							۱۲/۷	۱۶/۹						
Ab					۹۹/۶								۹۹/۱			
An					۰/۲								۰/۷			
Or					۰/۲								۰/۲			

ادامه جدول ۴

Sample	Ns89 (فلسیک)						BS6 (مافیک)						
	فرزیت		اپیدوت		اسفن	آلبیت	تیتانو مگنتیت	فرزیت		اپیدوت		کلریت	آلبیت
mineral	مرکز	حاشیه	داخل آلبیت	مرکز				مرکز	حاشیه	مرکز	حاشیه		
position													
SiO ₂	۵۰,۴۷	۴۹,۹	۲۶,۷۱	۲۹,۳	۶۷,۴۳	۰,۰۰	۴۶,۹۵	۵۲,۰۶	۳۶,۳۲	۱۷,۱۶	۲۵,۹۲	۶۷,۹	
TiO ₂	۰,۱۴	۰,۱۷	۰,۰۲	۳۸,۱	۰,۰۱	۱۳,۴	۰,۵۸	۰,۱۸	۰,۰۷	۰,۰۹	۰,۰۴	۰,۱	
Al ₂ O ₃	۲۲,۶۵	۲۳,۱۵	۲۱,۱۴	۱,۲	۱۹,۳۵	۰,۰۰	۲۷,۲۳	۲۲,۰۸	۲۳,۰۶	۲۳,۸۲	۱۸,۶۷	۱۹,۱۶	
FeO ^t	۶,۵۴	۶,۵۶	۱۵,۷۱	۱	۰,۱۶	۸۹,۹۵	۲,۲۸	۴,۳۷	۱۴,۲۱	۱۳,۲	۲۵,۳۵	۰,۱۵	
MnO	۰,۰۸	۰,۰۶	۱,۳۹	۰,۱	۰,۰۷	۱,۷۸	۰,۰۰	۰,۰۲	۰,۴۱	۰,۴۶	۰,۶۲	۰,۰۲	
MgO	۳,۵۳	۳,۵۲	۰,۰۲	۰,۰۰	۰,۰۰	۰,۰۰	۲,۶۴	۴,۲۹	۰,۰۲	۰,۰۰	۱۶,۴۹	۰,۰۰	
CaO	۰,۰۲	۰,۰۳	۲۱,۱۳	۲۷,۹	۰,۱۲	۰,۰۰	۰,۰۳	۰,۰۳	۲۲,۴۳	۲۲,۸۵	۰,۰۰	۰,۰۸	
Na ₂ O	۰,۱۳	۰,۲۲	۰,۰۳	۰,۰۶	۱۲,۰۴	۰,۰۰	۰,۶	۰,۲	۰,۰۰	۰,۰۰	۰,۰۰	۱۱,۷۳	
K ₂ O	۱۱,۰۵	۱۰,۷۲	۰,۰۰	۰,۰۳	۰,۰۷	۰,۰۰	۱۰,۷۳	۱۰,۹۸	۰,۰۰	۰,۰۰	۰,۰۰	۰,۰۳	
Total	۹۴,۷۸	۹۴,۴۵	۹۸,۶۳	۹۷,۸	۹۹,۲۷	۱۰۱,۴	۹۵,۲۱	۹۴,۶	۹۹,۵۱	۹۹,۷۷	۸۷,۱۳	۹۹,۱۱	
Si	۶,۹۴	۶,۸۶	۲,۹۳	۱	۲,۹۷	۰,۰۰	۶,۴۳	۷,۱۲	۲,۹۵	۲,۹۴	۵,۵۳	۲,۹۹	
Ti	۰,۰۱	۰,۰۱	۰,۰۰	۰,۹۷	۰,۰۰	۰,۲۶	۰,۰۶	۰,۰۱	۰,۰۰	۰,۰۰	۰,۰۰	۰,۰۰	
Al ^{IV}	۱,۰۵	۱,۱۳	۱,۹۹	۰,۰۴	۱	۰,۰۰	۱,۵۶	۰,۸۷	۲,۱۵	۲,۲۲	۲,۴۶	۰,۹۹	
A ^{VI}	۲,۶۱	۲,۶۲					۲,۸۲	۲,۶۸			۲,۲۲		
Fe ²⁺	۰,۵۳	۰,۴۶				۰,۲۲	۰,۲۶	۰,۴۹	۰,۰۰		۴,۵۲		
Fe ³⁺	۰,۱۹	۰,۲۶	۰,۹۴	۰,۰۲	۰,۰۰	۱,۴۷	۰,۴۱	۰,۰۰	۰,۸۴	۰,۷۸		۰,۰۰	
Mn	۰,۰	۰,۰۰	۰,۰۸	۰,۰۰	۰,۰۰	۰,۰۳	۰,۰۰	۰,۰۰	۰,۰۲	۰,۰۲	۰,۱۱	۰,۰۰	
Mg	۰,۷۲	۰,۷۲	۰,۰۰	۰,۰۰	۰,۰۰	۰,۰۰	۰,۵۴	۰,۸۷	۰,۰۰	۰,۰۰	۵,۲۴	۰,۰۰	
Ca	۰,۰۰	۰,۰۰	۱,۸	۱,۰۱	۰,۰۰	۰,۰۰	۰,۰۰	۰,۰۰	۱,۹	۱,۹۴	۰,۰۰	۰,۰۰	
Na	۰,۰۳	۰,۰۵	۰,۰۰	۰,۰۰	۱,۰۳	۰,۰۰	۰,۱۶	۰,۰۵	۰,۰۰	۰,۰۰	۱,۰		
K	۱,۹۴	۱,۸۸	۰,۰۰	۰,۰۰	۰,۰۰	۰,۰۰	۱,۸۷	۱,۹۱	۰,۰۰	۰,۰۰	۰,۰۰	۰,۰۰	
Sum Cat.	۱۴,۰۲	۱۳,۹۹	۷,۷۴	۳,۰۴	۵	۱,۹۸	۱۴,۱۱	۱۴	۷,۸۶	۷,۹	۱۹,۰۸	۴,۹۸	
X Ps			۲۲						۲۸	۲۶			
Ms	۳۹,۲	۴۰,۱					۵۱,۲	۳۴,۹					
Cel	۴۷,۷	۴۳,۸					۲۲,۱	۵۵,۷					
Pg	۱,۷	۳					۷,۹	۳,۲					
Phl	۵	۵					۵	۴					
Ti-Mn-Ca-WM	۶,۴	۸,۱					۱۳,۸	۲,۲					
Ab				۹۹,۰۵							۹۹,۳۸		
An				۰,۵۷							۰,۴۱		
Or				۰,۳۸							۰,۲۱		

ادامه جدول ۴

Sample mineral	378b (مافیک)					
	فتریت			اپیدوت		آلبیت
position	مرکز	حاشیه	داخل اپیدوت	حاشیه	مرکز	
SiO ₂	۵۱,۶۲	۴۸,۹	۴۸,۸۷	۳۶,۱۷	۳۶,۴۵	۶۷,۳۵
TiO ₂	۰,۲۵	۰,۰۸	۰,۱۴	۰,۰۳	۰,۱۲	۰,۰۰
Al ₂ O ₃	۲۲,۲	۲۵,۴۴	۲۶,۱۸	۲۲,۷۲	۲۲,۱۵	۱۹,۱۴
FeOt	۴,۵	۲,۹۶	۴,۷۲	۱۳,۷۲	۱۴,۲۷	۰,۱
MnO	۰,۰۷	۰,۰۰	۰,۰۳	۰,۲۶	۰,۷۵	۰,۰۰
MgO	۴,۱۸	۲,۴۶	۳,۶۱	۰,۰۶	۰,۰۵	۰,۰۰
CaO	۰,۰۵	۰,۱	۰,۱۱	۲۲,۳۶	۲۲,۳۶	۰,۱۲
Na ₂ O	۰,۱۳	۰,۴۶	۰,۴۱	۰,۱۶	۰,۰۰	۱۱,۷۴
K ₂ O	۱۱,۱۱	۱۰,۷۱	۱۱,۰۳	۰,۰۰	۰,۰۰	۰,۰۶
Total	۹۴,۳۳	۹۴,۱۹	۹۵,۲۶	۹۶,۰۸	۹۸,۳۳	۹۸,۵۴
Si	۷,۰۸	۶,۷	۷,۲۴	۲,۹	۲,۹۵	۲,۹۸
Ti	۰,۰۲	۰,۰۰	۰,۰۱	۰,۰۰	۰,۰۰	۰,۰۰
AlIV	۰,۹۱	۱,۲۷	۱,۳۵	۲,۱۹	۲,۱۱	۱
AlVI	۲,۶۷	۲,۸۴	۲,۸۳			
Fe ²⁺	۰,۵۱	۰,۳۴	۰,۲۴			۰,۰۰
Fe ³⁺	۰,۰۰	۰,۱۹	۰,۲۶	۰,۸۴	۰,۸۶	۰,۰۰
Mn	۰,۰۰	۰,۰۰	۰,۰۰	۰,۰۱	۰,۰۴	۰,۰۰
Mg	۰,۸۵	۰,۷۱	۰,۷۳	۰,۰۰	۰,۰۰	۰,۰۰
Ca	۰,۰۰	۰,۰۱	۰,۰۱	۱,۹۵	۱,۹۴	۰,۰۰
Na	۰,۰۳	۰,۱	۰,۱	۰,۰۲	۰,۰۰	۱,۰۱
K	۱,۹۴	۱,۸۸	۱,۹۱	۰,۰۰	۰,۰۰	۰,۰۰
Sum Cat.	۱۴,۲۸	۱۴,۰۴	۱۴,۶۸	۷,۹۱	۷,۹	۴,۹۹
XPs				۲۷	۲۹	
Ms	۳۶,۵	۴۵,۳	۴۷,۹			
Cel	۵۵	۳۷,۲	۳۳,۲			
Phl	۴,۵	۵	۵			
Pg	۱,۸	۶	۵,۵			
Ti-Mn-Ca-WM	۲,۲	۶,۵	۸,۴			
Ab						۹۹,۰۷
An						۰,۶
Or						۰,۳۳

دما-فشار سنگی

روش‌های برآورده شرایط فشار و دمای دگرگونی شیسته‌های آبی عبارتند از استفاده از نرمافزار ترموکالک [۳۲] نسخه‌ی ۳,۲۶ و منحنی گستره‌ی پایداری انواع آمفیبول [۳۳]. در بسیاری از موارد محاسبه‌ی شرایط فشار و دمای اوج دگرگونی در سنگ‌های رخساره‌ی شیست آبی به علت اعمال دگرگونی پسروند و حساسیت ترکیب کانی‌های این رخساره به تغییرات فشار و دما و نبود داده‌های ترمودینامیکی معتبر وابسته به فازهای تعادلی در دمای پایین، غیرممکن است و معمولاً فشار و دمای محاسبه

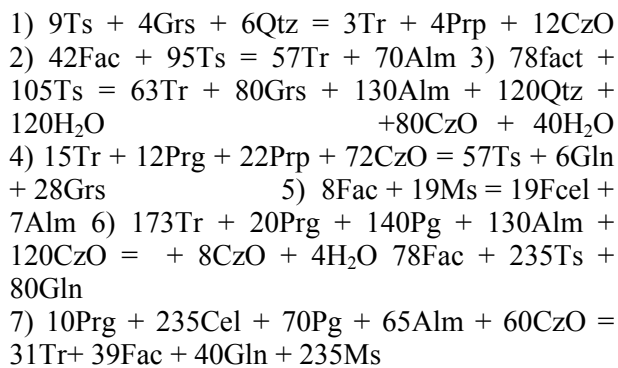
فلدسبات

فلدسبات این سنگ‌ها آلبیت خالص است (جدول ۴) و از محصولات دگرگونی برگشتی طی فاز دوم دگرگونی است. این کانی طی بالا رفتن گردایان زمین گرمایی منطقه و به دنبال تزریق توده‌های ترونجمیتی به صورت پورفیروبلاست‌های درشت متبلور شده است.

کلریت

کلریت‌ها نیز مانند آلبیت دارای خاستگاه ثانوی بوده و نسبتاً غنی از منیزیم‌اند (جدول ۴).

اختصاری کانی‌ها از [۳۵] اقتباس و در جدول ۵ معرفی شده‌اند.



[۳۶] نیز خاطرنشان کرده‌اند که نبود لاوسونیت در شیست آبی، بیانگر دمای بالاتر از ۳۰ درجه‌ی سانتیگراد است.

جدول ۵ علائم اختصاری کانی‌ها [۳۵].

علامت اختصاری	نام کانی
Pl	پلاژیوکلاز
An	آنورتیت
Or	ارتوز
Ab	آلبیت
Grt	گارنت
Grs	گروسولار
Prp	پیروب
Alm	آلماندن
Am	آمفیبیول
Tr	ترمولیت
Prg	پارگازیت
Ts	چرمکیت
Gln	گلوكوفان
Fac	فرواکتینولیت
Qtz	کوارتز
Ms	موسکویت
Pg	پاراگونیت
Fcel	فروسالادونیت
Cel	سلادونیت
Phl	فلوگوپیت
Chl	کلریت
Ep	اپیدوت
Ps	پیستاسیت
CzO	کلینوزوئیزیت
ZO	زوئیزیت
Jd	زادئیت
Ky	کیانیت
And	آنداوالوزیت
Sil	سیلیمانیت

شده، کمتر از فشار و دمای بیشینه‌ی حاکم در شرایط اوج دگرگونی است [۳۲].

زمانی که در محاسبات دما - فشار مجموعه کانی‌های آمفیبیول سدی (مرکز آمفیبیول)، اپیدوت، فنثیت و گارنت نسل اول (مرکز بلور) را به صورت یک پاراژنر در مرحله‌ی اوج دگرگونی که طی فرورانش و تدفین بوجود آمداند در نظر می‌گیریم، بدليل نبود واکنش‌های شیمیابی ممکن بین آن‌ها، میانگین فشار و دمای سنگ بوسیله ترمومکالک قابل محاسبه نیست و مoid این است که کانی‌های تعادلی اوج دگرگونی دستخوش تغییرات ناشی از دگرگونی پسروند شده‌اند، و از این‌رو نمی‌توان آن‌ها را به صورت یک پاراژنر پایدار در این مرحله در نظر گرفت. در صورتی که با انتخاب حاشیه‌ی آمفیبیول (باروئیزیت) به جای مرکز بلور در این محاسبات، فشار و دمای قابل قبولی برای رخساره‌ی شیست آبی به دست می‌آید. این شرایط فشار و دمای محاسبه شده معادل شرایط فاز دگرگونی اول است که نزدیک به شرایط مرحله‌ی اوج دگرگونی است.

آلبیت تنها به صورت پورفیروبلاست‌های درشت موجود بوده و آخرین محصول دومین فاز دگرگونی است که حاوی ادخال - هایی از آمفیبیول سدی و کلسیک - سدی، فنثیت، گارنت و اپیدوت هستند بنابراین در محاسبات دما- فشارسنگی با اضافه کردن پورفیروبلاست‌های آلبیت به مجموعه آمفیبیول کلسیک - سدی (حاشیه‌ی بلور) + فنثیت (حاشیه‌ی بلور) + اپیدوت، دمای بیشتر و فشار کمتری نسبت به دگرگونی فاز اول (اوج دگرگونی) حاصل می‌شود. این فشار و دما معادل شرایط دومین فاز دگرگونی است که بدبای افزایش گرادیان زمین‌گرمایی منطقه در نتیجه تزریق توده‌های ترونجمیتی و حین بالاًمدگی واحدهای فشار بالا صورت گرفته است.

محاسبه‌ی دما و فشار دگرگونی با ترمومکالک

میانگین فشار و دمای محاسبه شده با نرم افزار ترمومکالک [۳۲] نسخه ۳.۲.۶ بدست آمد، و در این محاسبات فعالیت اعضای نهایی کانی‌ها با نرم افزار AX [۳۴] محاسبه شدند. میانگین فشار و دمای مرحله اوج دگرگونی یا به احتمال زیاد در مراحل اولیه‌ی دگرگونی برگشتی پس از اوج دگرگونی، که با انتخاب مجموعه کانی‌های تعادل نمونه‌های مختلف سنگ‌های رخساره شیست آبی به دست آمده، شامل ۱۱ تا ۱۴ کیلوبار فشار و ۳۵۰ تا ۴۲۰ درجه سانتیگراد است. محاسبه‌ی میانگین فشار و دما، بر اساس واکنش‌های زیر صورت گرفت (علامت‌های

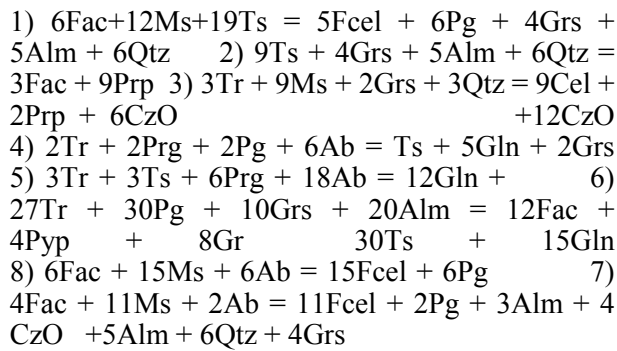
مناطق دیگر دنیا ([۳۸، ۳۷، ۲]) مسیر دگرگونی شیستهای آبی سلطان‌آباد، ساعت گرد بوده است.

تفسیر زمین ساختی و برداشت

به عقیده تعداد زیادی از پژوهشگران در تریاس ([۱۴، ۴۲-۵۲]) یا ژوراسیک - کرتاسه زیرین ([۵۴، ۵۳]) فرایند کافتن در حاشیه‌ی شمال‌شرقی گندوانا منجر به تشکیل اقیانوس نشوتنیس شد که در اوج تکامل از دریای عمان تا مدیترانه گسترش داشته است. همچنین در این دوره‌ها پیرامون خرده قاره‌ی ایران مرکزی نیز اقیانوس‌زایی صورت گرفته است. بقایای این اقیانوس‌ها در محل برخورد خرده قاره‌ها، به صورت عدسی-های افیولیتی و سنگ‌های وابسته به زون‌های فروزانش مانند رخساره‌های دگرگونی فشار در بالا دیده می‌شوند.

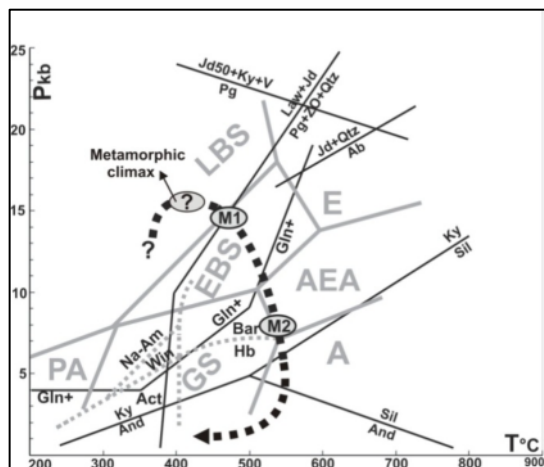
چنانکه در بخش زمین‌شناسی منطقه نیز گفته شد با توجه به شواهد متنوع صحرایی، میکروسکوپی، ژئوشیمیایی، محاسبات دما - فشار و سال‌سنگی ترونجمیت‌ها و گارنت-آمفیبیولیت‌ها، سناریوی ذوب‌بخشی پوسته اقیانوسی فروزو و تشکیل گدازه‌ی آدکیتی ترونجمیتی و تفاله‌ی گارنت-آمفیبیولیتی در منطقه‌ی سلطان‌آباد طی پالوسن میانی استنباط شده است [۱۰] از طرفی وجود شیستهای آبی عاری از لاوسونیت نیز بیانگر وجود این منطقه‌ی فروزانش نسبتاً داغ در منطقه سبزوار است.

همچنین میانگین فشار و دمای محاسبه شده با ترمومکالک برای دومین فاز دگرگونی به ترتیب عبارتند از ۴ تا ۷ کیلوبار و ۵۰۰ تا ۵۸۰ درجه‌ی سانتیگراد است که بر اساس واکنش‌های زیر به دست آمده‌اند:



با استفاده از قلمرو پایداری انواع آمفیبیول ([۳۳]) نیز می‌توان شرایط دما و فشار مرحله‌ی دوم دگرگونی ارزیابی کرد. وجود باروئیزیت در حاشیه‌ی آمفیبیول‌های سدی حاکی از آن است که فرایند این مرحله در دمای بیشتر از ۴۰۰ درجه‌ی سانتیگراد و فشار بالاتر از ۵ کیلوبار صورت گرفته باشد، در حالی که حضور وینچیت موید دما و فشار کمتری است.

با استفاده از داده‌های حاصل از دما-فشار، مسیر فشار - دمای دگرگونی (P-T) شیستهای آبی منطقه در شکل ۸ ترسیم شده است. همانند مسیر دگرگونی رایج در سنگ‌های دگرگونی با فشار بالا - دمای پایین، منشورهای بهم‌افزوده



شکل ۸: نمودار P-T-t دو فاز دگرگونی شیستهای آبی منطقه‌ی سلطان‌آباد که با توجه به محاسبات دما-فشار ترسیم شده است. قلمرو رخساره‌ها GS: شیست آبی، A: آمفیبیولیت، E: اکلوزیت، Z: زیرخساره‌ها (PA: پومپله‌ایت)، AEA: اکتینولیت - اپیدوت - آمفیبیولیت، EBS: اپیدوت - شیست آبی، LBS: لاوسونیت - شیست آبی) و گستره‌ی پایداری اقیانوسی در شکل نمایش داده شده‌اند (Hb: هورنبلند، Bar: اکتینولیت، Act: آمفیبیول سدی، Na-Am: آمفیبیول نیز، Win: پیروکسن ژائیتی و لاوسونیت و حضور اپیدوت در سنگ-های رخساره‌ی شیست آبی، گستره‌ی دما-فشار فاز اول دگرگونی (M₁) در پایین‌تر از منحنی تبدیل آلیت به ژائیت و در قلمرو زیرخساره‌ی اپیدوت - شیست آبی واقع است. وجود باروئیزیت و بلورهای درشت آلیت در پاراژنز فاز دوم دگرگونی (M₂) بیانگر آن است که این فاز دگرگونی در شرایط زیرخساره آلیت - اپیدوت - آمفیبیول نوع باروئیزیت صورت گرفته است. قلمرو پایداری گلوكوفان ([۳۹]), آلبیت ([۴۰]) و آلومینوسیلیکات‌ها ([۴۱]) نیز در شکل دیده می‌شود.

قدردانی

از آقایان پروفسور فدریکو روزتی، جیانلوکا ویگنارولی و دومینیکو کوتتسوپولی از دانشگاه سوم رم و دکتر توماس تی که زمینه سازی‌های لازم برای انجام تجزیه‌های ریزپردازش را در دانشگاه‌های لاسپینزای رم و اشتوتگارت فراهم کردند و با ارائه پیشنهادات ارزنده و انجام بررسی‌های صحرایی مشترک سهم به سزاگی در به ثمر رساندن این پژوهش کردند کمال تشکر را داریم. نویسنده‌گان مقاله از نظرها و پیشنهادهای سازنده‌ی داوران محترم مجله نیز تشکر می‌کنند.

مراجع

- [1] Miyashiro A., "Metamorphism and Metamorphic belts", Wiley, New York (1973) p. 492.
- [2] Maruyama S., Liou J.G., Terabayashi M., "Blueschists and eclogites of world and their exhumation", International Geology Review 38 (1998) 485-594.
- [3] Delaloye M., Desmons J., "Ophiolites and mélange terranes in Iran, A geochronological study and paleotectonic implications", Tectonophysics 68 (1980) 83-111.
- [4] Tirul R., Bell I.R., Griffis R.J., Camp V.E., "The Sistan Suture Zone of Eastern Iran", Geological Society of American Bulletin 94 (1983) 134-150.
- [5] Fotoohi Rad G.R., Droop G.T.R., Amini S., Moazzzen M., "Eclogites and blueschists of the Sistan Suture Zone, Eastern Iran: A comparison of P-T histories from a subduction mélange", Lithos 84 (2005) 1-24.
- [6] Fotoohi Rad G.R., Droop G.T.R., Burges R., "Early Cretaceous exhumation of high-pressure metamorphic rocks of the Sistan Suture Zone, eastern Iran", Geological Journal 44 (2009) 104–116.
- [7] Baroze J., Macaudiere J., Montigny R., Noghreyan M., Ohnenstetter M., Rocci G.A., "Ophiolites and related formations in the central part of the Sabzevar (Iran) and possible geotectonic reconstructions", Geodynamic Project (Geotraverse) in Iran, (1983) Geological Society of Iran, Rep. No.: 51.
- [8] Macaudiére J., "Etude structurale du domaine métamorphique de Soltanabad (chainon ophiolitique de Sabzevar, NE Iran)", Phd theses (1982).

سال سنجی آرگون - آرگون فنریت و آمفیبولهای سدی و کلسیک- سدی موجود در شیسته‌های آبی میان رخداد مرحله‌ی دوم دگرگونی (تأثیر گرمایی توده‌های ترونجمیتی منطقه) در زمان اوسن بالایی تا پالئوسن میانی است (داده‌های منتشر نشده).

بنابراین طی پالئوسن - اوسن، حرکت رو به شمال صفحه-ی عربستان و حرکت خرده قاره‌ی ایران مرکزی به سمت شمال شرقی منجر به فروزانش و سپس بسته شدن حوضه‌ی اقیانوسی باریک و جوان سبزوار شده است. راستای شرقی - غربی ساختارهای واقع در منطقه و رانش رو به جنوب آن‌ها ممید وجود رژیم فروزانشی رو به شمال است. این پوسته‌ی اقیانوسی همزمان با تغییر در منشورهای بهم افروده‌ی منطقه فروزانش توده‌های ترونجمیتی و نیز بلوک‌های گارنت - آمفیبولیت (فاز دیرگذار) به وجود آمدند. بنابراین ستاریوی شکل گیری دگرگونی به قرار زیر خلاصه می‌شود:

با تشكیل شیسته‌های آبی در اعماق ۴۰ کیلومتری، در اعماق بیشتر ذوب‌بخشی پوسته‌ی اقیانوسی فرورو منجر به تشکیل گدازه‌ی ترونجمیتی و نیز تشکیل تفاله‌ی گارنت-آمفیبولیت در پالئوسن میانی شده است. تزریق مagmaهای ترونجمیتی به قلمرو شیسته‌های آبی واقع در منشورهای بهم-افروده، طی فاز دوم دگرگونی، باعث بالا رفتن گرادیان زمین- گرمایی منطقه شده و در نتیجه، پورفیروبلاستهای آلیت و آمفیبول کلسیک - سدی رشد کرده و بلورهای گلوكوفان دستخوش دگرگونی برگشتی شده‌اند.

با وجود مدل ژئودینامیکی ارائه شده در بالا، نظر به حضور ورقه‌های بزرگ شیست آبی به صورت زنولیت در توده‌های ترونجمیتی منطقه، دما و فشار دگرگونی بیشینه‌ی ورقه‌ی اقیانوسی فرورو و ذوب بخشی آن در منطقه کanal فروزانش پس از پذیرش دگرگونی فشار بالا- دمای پایین (رخساره‌ی شیست آبی) صورت گرفته است. لذا در این مدل ژئودینامیکی گسیختگی ورقه‌ی اقیانوسی فرورو و نفوذ دیاپیر آستنوسفری از آن (Slab break-off) و به دنبال آن ذوب بخشی لبه‌های محل گسیختگی و تشکیل گدازه‌ی آدکیتی و یا مدل فروزانش پشتیه میان اقیانوسی در حال ارزیابی و بررسی است.

[۱۹] کرهای م.ت.، سعیدی ع.، " نقشه زمین‌شناسی ۱/۱۰۰۰۰ سلطان‌آباد" ، سازمان زمین‌شناسی و اکتشافات معدنی کشور (۱۳۷۹).

[20] Stocklin J., "Structural history and tectonics of Iran, a review", American Association of Petroleum Geologist Bulletin, 7 (1968) 1229-1258.

[21] Alavi M., "Tectonic map of the middle east", Geological Survey of Iran, scale 1/500000.1sheet, (1991).

[22] Pilger A., "Die zeitlich-tectonische Entwicklung der Iranischen Gebirge," Clausthaler Geologische Abhandlungen., 8 (1971) 27-41.

[23] Storkey A.C., Hermann J., Hand M., Buick I. S., "Using In Situ Trace-Element Determinations to Monitor Partial-Melting Processes in Metabasites", Journal of Petrology 6 (2005) 1283-1308.

[24] García-Casco A., Lázaro C., Torres-Roldán R. L., Núñez Cambra K., Rojas Agramonte Y., Kröner A., Neubauer F., Millán G., Blanco Quintero I., "Partial melting and counterclockwise P-T path of subducted oceanic crust (Sierra del Convento mélange, Cuba)", Journal of Petrology 49 (1) (2008) 129-161.

[25] Beard J.S., Lofgren G.E., "Dehydration melting and water saturated melting of basaltic and andesitic greenstones and amphibolites at 1, 3 and 6.9 Kb", Journal of Petrology 32 (1991) 365-401.

[26] Winter K.T., Newton R.C., "Experimental melting of hydrous low-K tholeiite: evidence on the origin of Archaean cratons", Bulletin of the Geological Society of Denmark 39 (1991) 213-228.

[27] Bucher K., Frey M., "Petrogenesis of Metamorphic Rocks", 7th edn Springer-Verlag Berlin (2002).

[28] Leake B.E., Alan R.W., William D.B., Ernst A.J.B., Giovanni F., Jeol D.J., Frank C.H., Hanan J.K., Vladimir G.K., John C.S., Nicholas C.N.S., Eric J.W.W., "Nomenclature of amphiboles: Additions and revisions to the International Mineralogical Associations amphibole nomenclature", American Mineralogist 89 (2004) 883-887.

[29] Tracy R.J., "Compositional zoning and inclusions in metamorphic minerals. In: Ferry JM (ed) Characterization of Metamorphic Mineral Equilibria", Mineral Soc Am, Rev Mineral 10 (1982) 355-397.

[۳۰] نصرآبادی م.، "پتروگرافی و پترولوژی سنگهای دگرگونی جنوب سلطان‌آباد" ، پایان‌نامه کارشناسی ارشد دانشگاه تربیت معلم (۱۳۸۲) ۱۵۵ ص.

[۳۱] نصرآبادی م.، "پترولوژی سنگهای دگرگونی نوار افیولیتی شمال سبزوار" ، رساله دکتری دانشگاه تربیت معلم (۱۳۸۸) ۲۵۰ ص.

[۳۲] Sabzehi M., "Les mélanges ophiolitiques de la region de Esfandaghe (Iran meridional). Etude petrologique et structural Interpretation dans les carte Iranien", Theses universite de Granoble (1974).

[۳۳] Oberhansli R., Moinzade H., Moazzen M., Arvin M., "Blue jadeite from Shogan, SE Iran", Mitt.Östter.Miner.Ges. 150 (2005).

[۳۴] Agard P., Monie P., Gerber W., Omrani J., Molinaro M., Labrousse L., Vrielynck B., Meyer B., Jolivet L., Yamato P., "Transient synobduction exhumation of Zagros blueschists inferred from pressure, temperature, deformation, time and kinematic constraints: Implications for Neotethys wedge dynamics", Journal of Geophysical Researches 111 (2006): Art. No. B 11401, Nov. 2.

[۳۵] Davoudian A.R., Genser J., Dachs E., Shabanian N., "Petrology of eclogites from north of Shahr-e- Kord, Sanandaj-Sirjan Zone, Iran", Mineralogy and Petrology 92 (2008) 393-413.

[۳۶] Bagheri S., Stampfli G.M., "The Anarak, Jandaq and Posht-e-Badam metamorphic complex in central Iran: New geological data, relationships and tectonic implications", Tectonophysics 451 (2008), 123-155.

[۳۷] Zanchi A., Zanchetta S., Garzanti E., Balini M., Berra F., Mattei M., Muttoni G., "The Cimmerian evolution of the Nakhvak-Anarak area, Central Iran, and its bearing for the reconstruction of the history of the Eurasian margin", Geological Society of London, Special Publications 312 (2009) 261-286.

[۳۸] Zanchetta S., Zanchi A., Villa I., Poli S., Muttoni G., "The Shanderman eclogites: a Late Carboniferous high-pressure event in the NW Talesh Mountains (NW Iran)", Geological Society of London, Special Publications 312 (2009) 57-79.

[۳۹] Lensch G., Mihm A., Alavi Tehrani N., "Petrography and geology of the ophiolite belt north of Sabzevar/ Khorasan (Iran)", Neues Jahrbuch Fur Geologie un Palaontologie Monatshefte, 131 (1977), 156-178.

- [42] Mattaur M., "Les déformations des matériaux de l'écorce terrestre", Hermann, Paris (1973).
- [43] StÖcklin J., "Structural correlation of the Alpine ranges between Iran and Central Asia", Mémoires hors série de la société Géologique de France 8 (1977) 333-353.
- [44] Wensink H., Varecamp J.C., "Paleomagnetism of basalts from Alborz (Iran), part of Asia in the Cretaceous", Tectonophysics 68 (1980) 113-129.
- [45] Majidi B., "The ultrabasic lava flows of Mashhad, North East Iran", Cambridge University Geological Magazine 118(1981) 49-58.
- [46] Stampfli G.M., "Etude géologique générale de l'Elbourz oriental au sud de Gondbad-e-Qabus, Iran NE", Thesis Geneve, (1978) 329.
- [47] Boulin J., "Hercinian and Eocimerian events in Afghanistan and adjoining regions", Tectonophysics 148 (1988) 253-275.
- [48] Eftekhar Nezhad J., Behrouzi A., "Geodynamic significance of recent discoveries of ophiolites and late Paleozoic rocks in NE – Iran (including Kope Dagh)", Abhandlungen der Geologischen Bundesanstalt 38 (1991) 89-100.
- [49] Stampfli G.M., "Tethyan oceans. In: Bozkurt E., Winchester G. A., Piper G. D. A. (Eds.), Tectonics and magmatism in Turkey and surrounding area", Geological Society of London, Special Publication 173 (2000) 1-23.
- [50] Golonka A.J., "Plate tectonic evolution of the southern margin of Eurasia in the Mesozoic and Cenozoic", Tectonophysics 381 (2004) 235-273.
- [51] Stampfli G.M., Borel G.D., "A plate tectonic model for the Paleozoic and Mesozoic constrained by dynamic plate boundaries and restored synthetic oceanic isochrons", Earth and Planetary Science Letters 196 (2002), 17–33.
- [52] Stampfli G.M., Kozur H., "Europe from the Variscan to the Alpine cycles", In: Gee, D.G., Stephenson, R. (Eds.), European Lithosphere Dynamics. Memoir of the Geological Society (London), (2007) 57–82.
- [53] Haynes S.J., Renolds P.H., "Early development of Tethys and Jurassic ophiolite displacement", Nature 283 (1980) 561-563.
- [54] Spies O., Lensch G., Mihm A., "Geochemistry of the post-ophiolitic tertiary volcanics between Sabzevar and Quchan (NW Iran). Geodynamic project (Geotraverse) in Iran", Geological Society of Iran, Rep No. 51 (1983).
- [30] Spear F.S., "Metamorphic fractional crystallization and internal metasomatism by diffusional homogenization of zoned garnets", Contribution to Mineralogy and Petrology 99 (1988) 507–517.
- [31] Florence F.P., Spear F.S., "Intergranular diffusion kinetics of Fe and Mg during retrograde metamorphism of a pelitic gneiss from the Adirondack Mountains", Earth and Planetary Science Letters 134 (1995) 329–340.
- [32] Powell R., Holland T.J.B., "On thermobarometry", Journal of Metamorphic Geology 26 (2008) 155–179.
- [33] Otsuki M., Banno S., "Prograde and retrograde metamorphism of hematite-bearing basic schists in the Sanbagawa belt in central Shikoku", Journal of Metamorphic Geology 8 (1990) 425–439.
- [34] Holland T.J.B., Powell R., "The AX computer program", unpublished data; <http://www.esc.cam.ac.uk/astaff/holland/index.html>.
- [35] Kretz R., "Symbols for rock-forming minerals", American Mineralogist 68 (1983) 277–279.
- [36] Frey M., De Capitani C., Liou J.G., "A new petrogenetic grid for low-grade metabasites", Journal of Metamorphic Geology 9 (1991) 479–509.
- [37] Massonne H.J., "Rhenohercynian Foldbelt, C. Metamorphic units (Northern phyllite zone), metamorphic evolution. In: Dallmeyer, R.D., Franke, W., Weber, K. (Eds.), Pre-Permian geology of Central and Eastern Europe", Springer Verlag, Berlin- Heidelberg, (1995a) 132–137.
- [38] Massonne H.J., "Experimental and petrogenetic study of UHPM. In: Coleman, R.G., Wang, X. (Eds.), Ultrahigh Pressure Metamorphism", Cambridge Univ. Press, (1995b) 33–95.
- [39] Okrusch M., Seidel E., Davis E.N., "The assemblage jadeite-quartz in the glaucophane rocks of Sifnos Cyclades Archipelago, Greece", N. Jb. Miner. Abh. 132 (1978) 284–308.
- [40] Holland T.J.B., "The experimental determination of activities in disordered and short-range ordered jadeitic pyroxenes", Contributions to Mineralogy and Petrology 82 (1983) 214–220.
- [41] Holdaway M.J., "Significance of chloritoid-bearing rocks in the Picuris Range, New Mexico", Geological Society of America Bulletin 89 (1978) 1404–1414.